

地形面の凡例

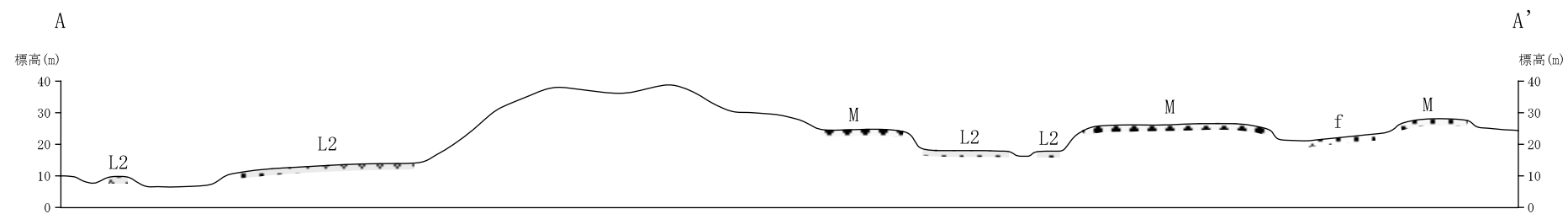
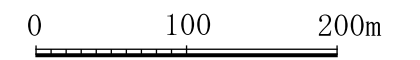
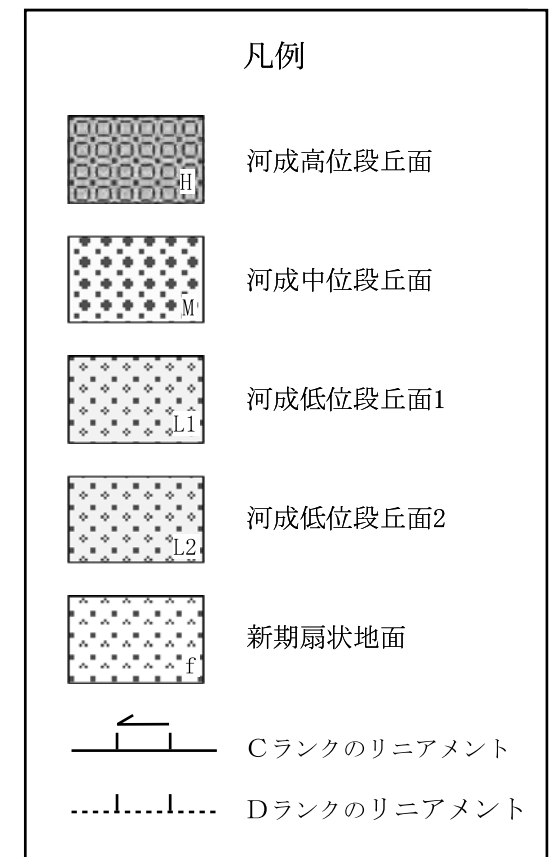
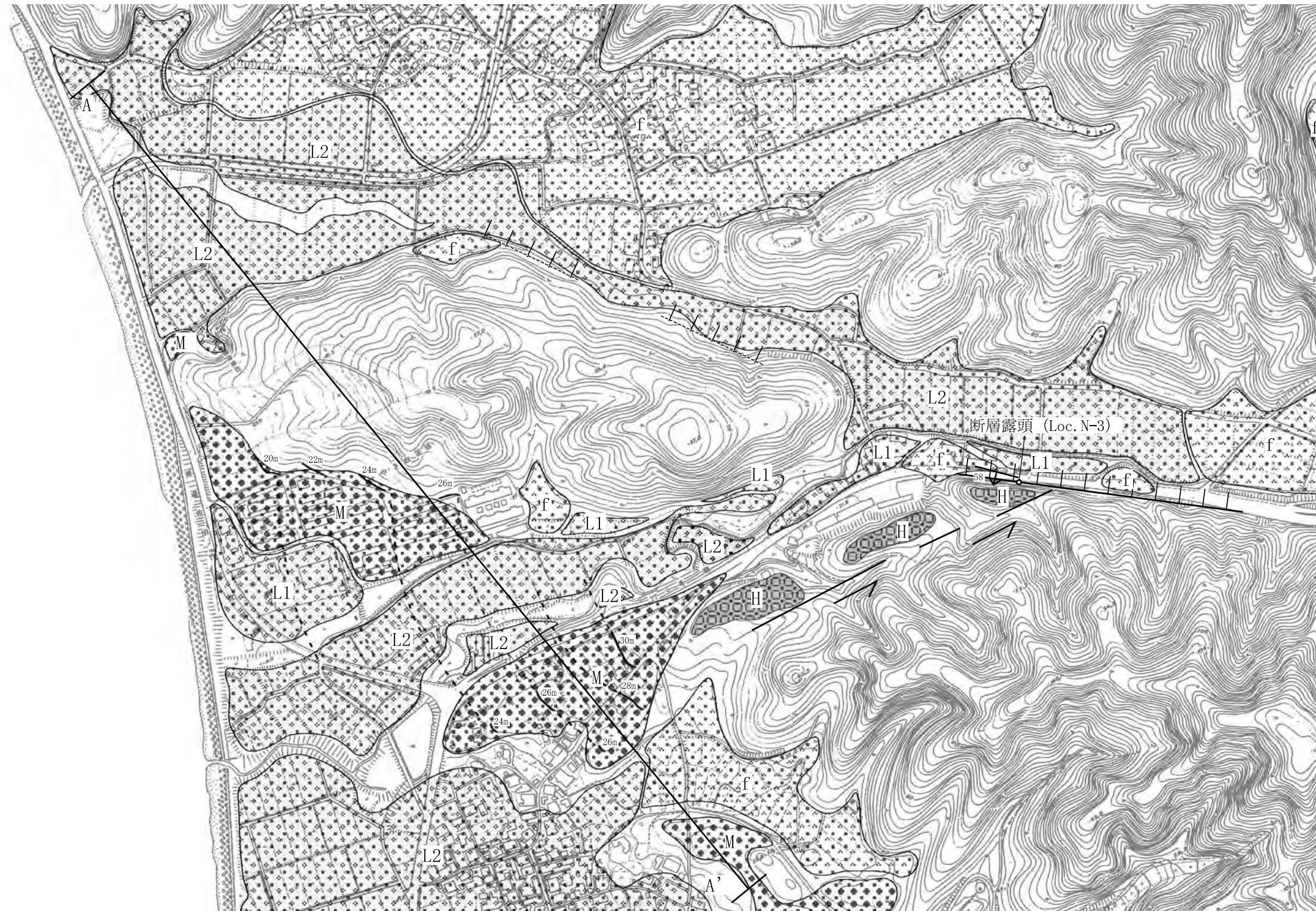
	新期扇状地面
	古期扇状地面2
	古期扇状地面1
	河成低位段丘面
	河成中段丘面
	河成高位段丘面

変動地形・リニアメントの凡例

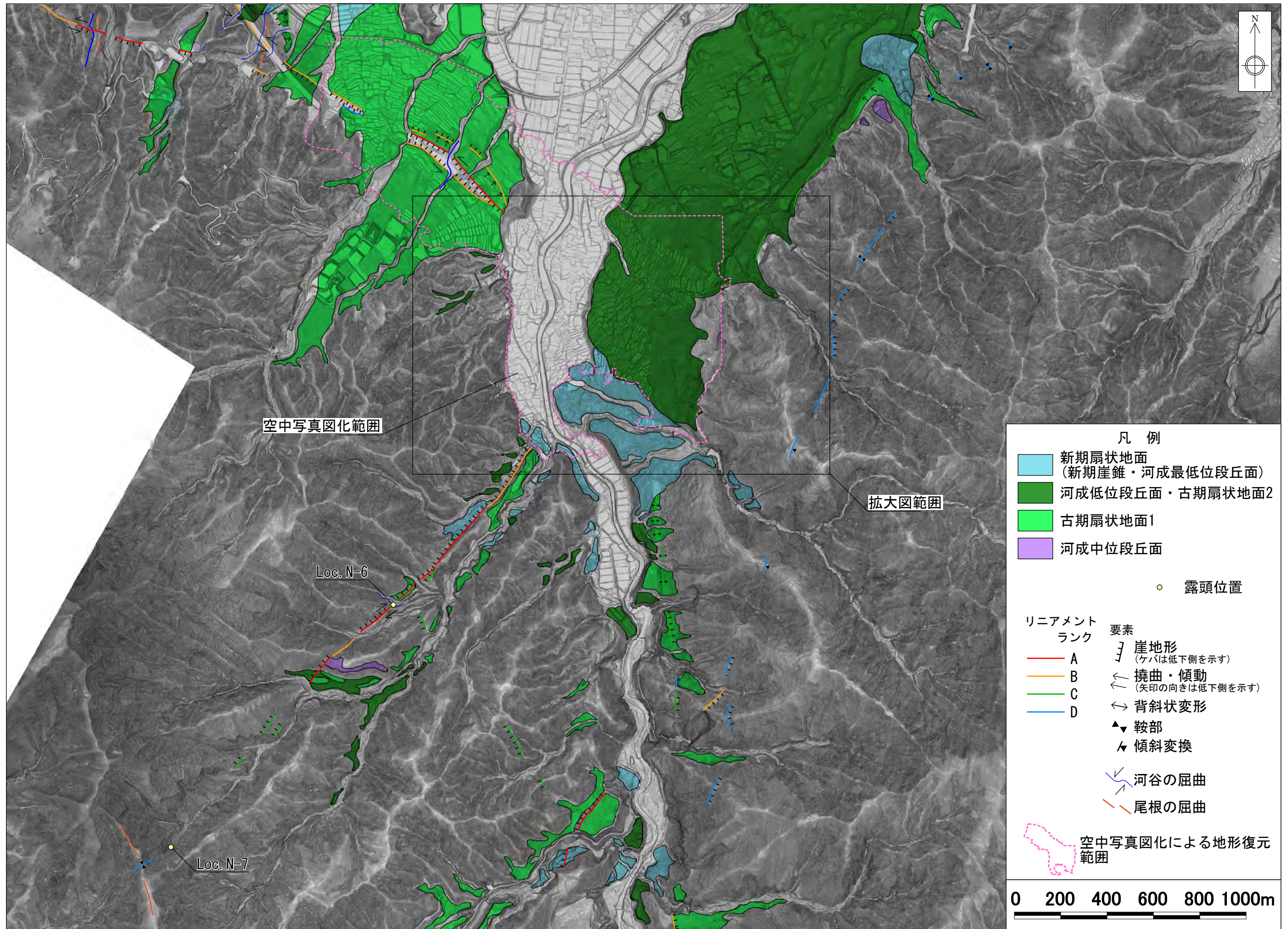
	Bランク
	Cランク
	Dランク
短線は低い側を示す。矢印は尾根、谷の屈曲方向を示す。短線がないリニアメントは両側で高度の不連続が認められないもの。	
	屈曲した谷線
	表示範囲

「この地図は、国土院院長の承認を得て、同院発行の5万分1
 国土基本図、数値地図200000（地図画像）及び数値地図
 25000（地図画像）を複製したものである。（承認番号 平27情複、第397号）」

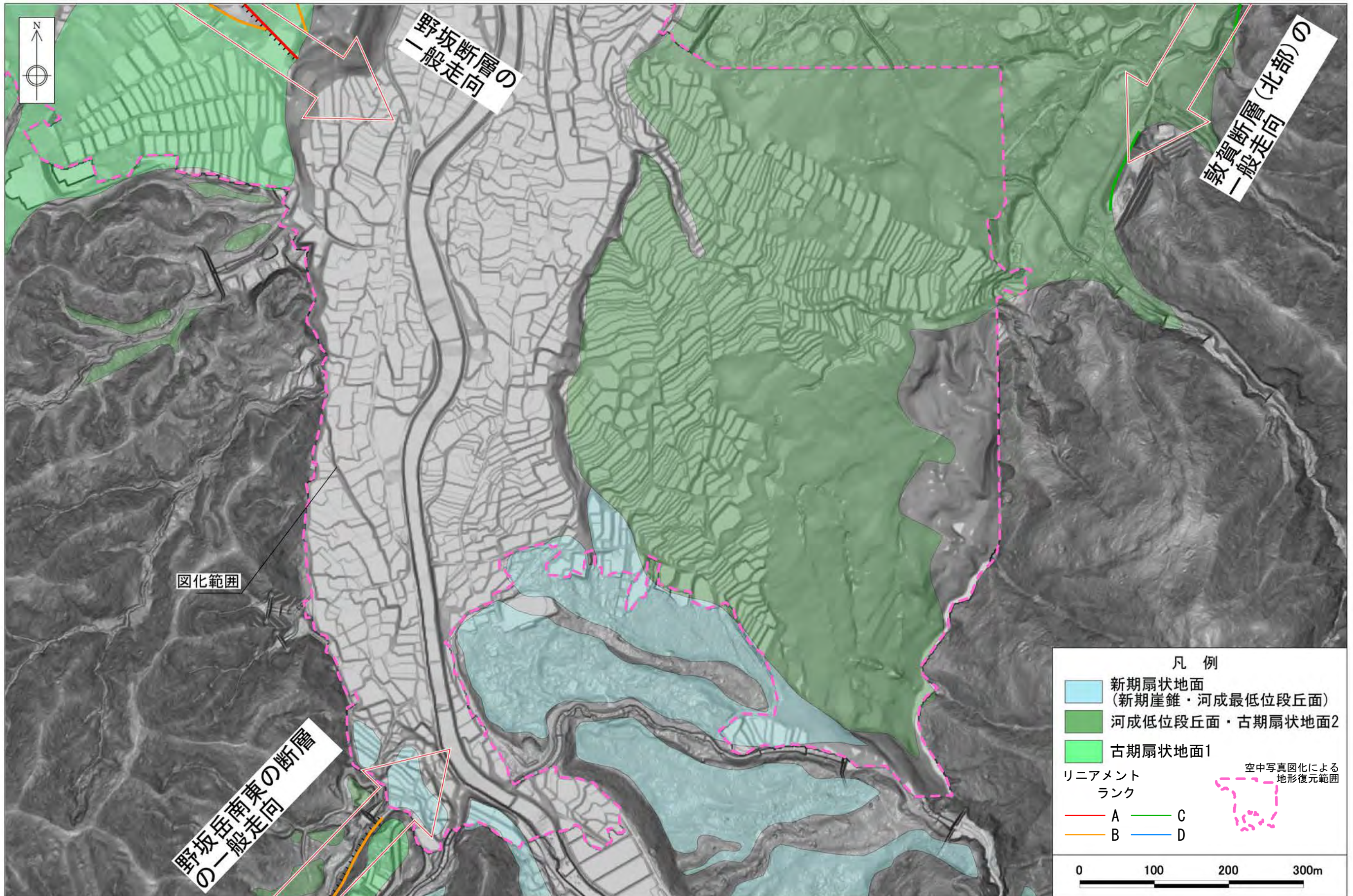
第7.4.2.152図 野坂断層周辺陸域の地形調査結果



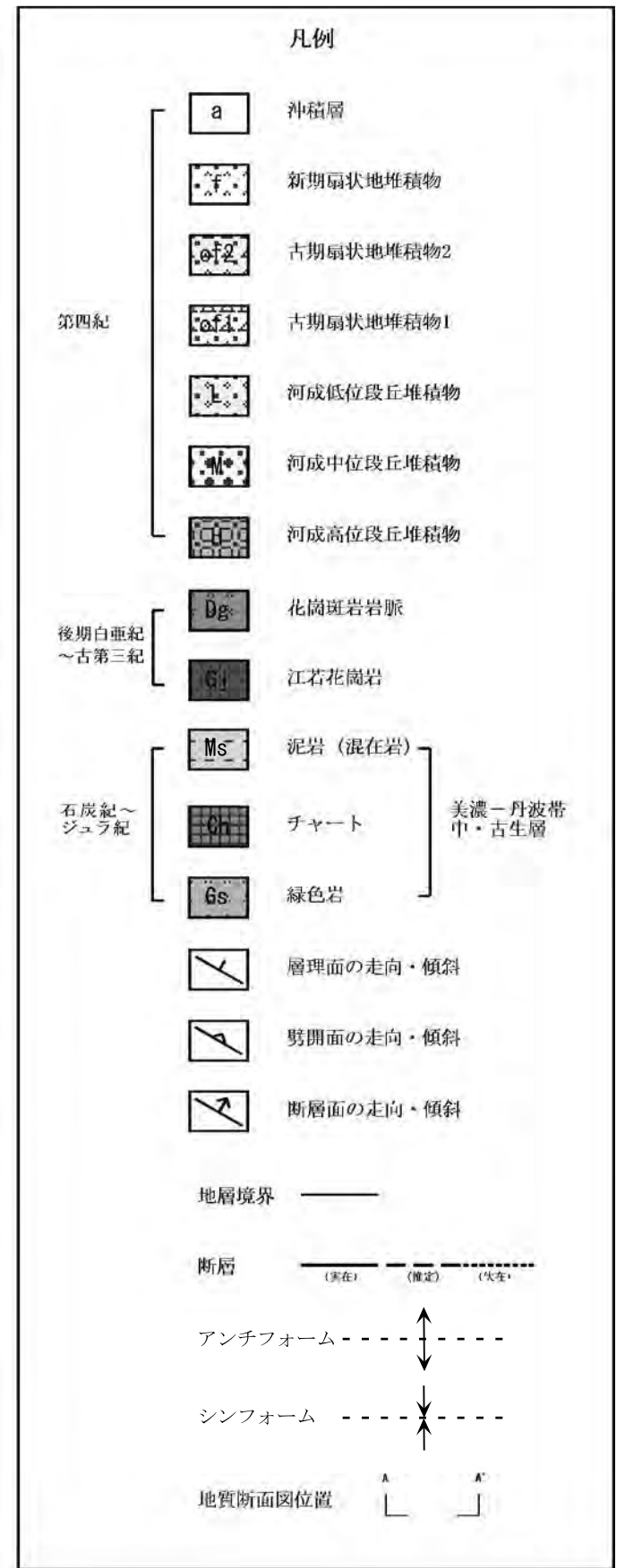
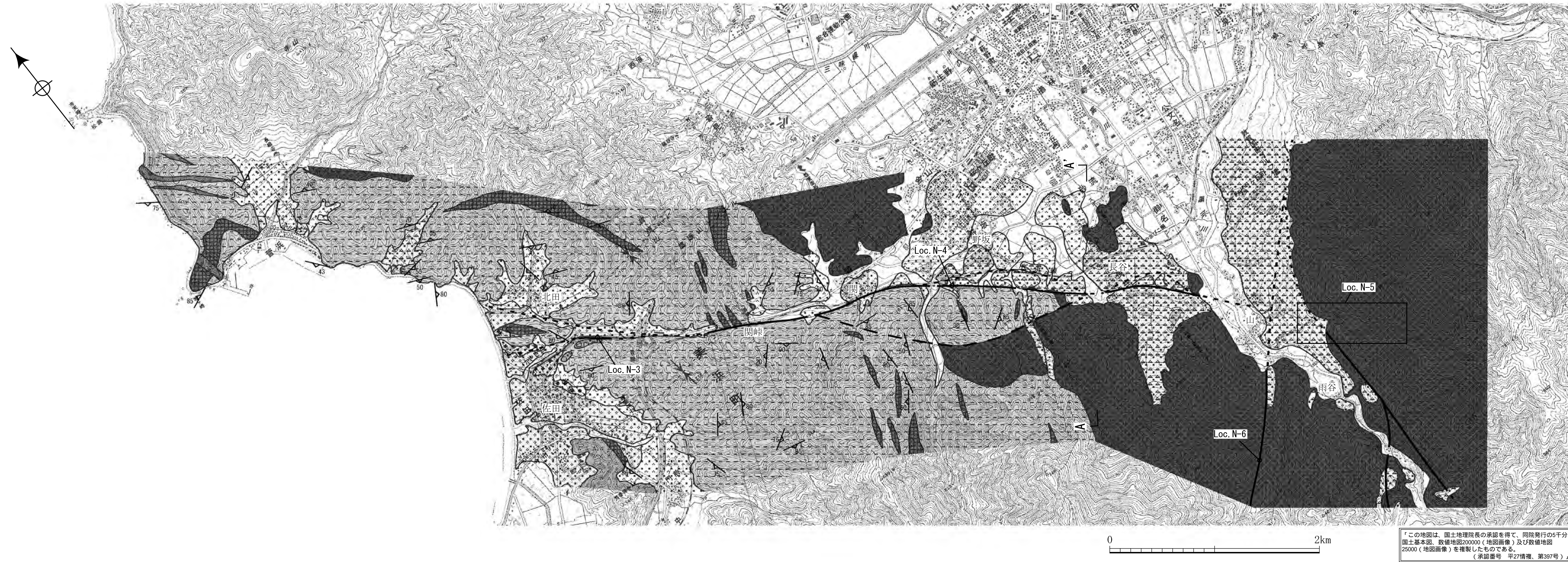
第7.4.2.153図 野坂断層 佐田付近の段丘面高度分布図 (Loc.N-1)
6-7-4-484



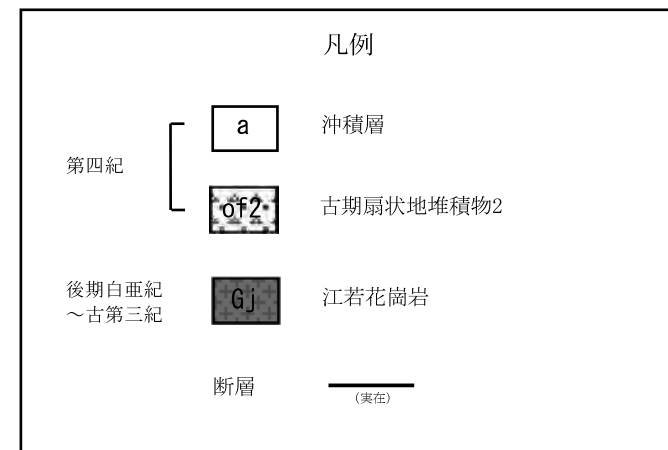
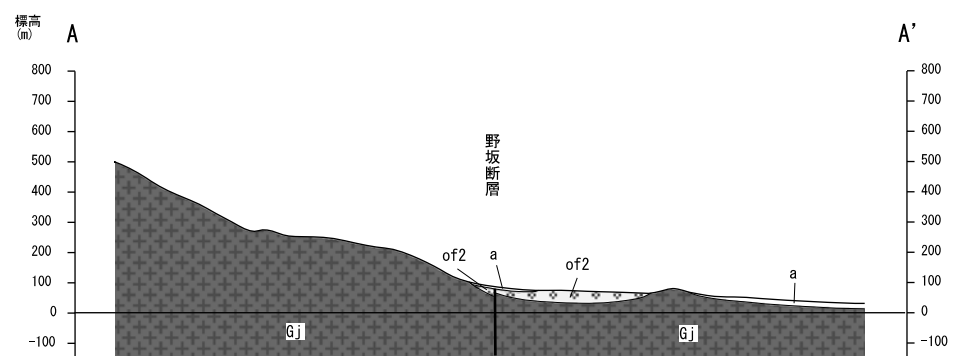
第7.4.2.154図(1) 野坂断層南端付近 航空レーザー測量により作成した地形図(1)



第7.4.2.154図(2) 野坂断層南端付近 航空レーザー測量により作成した地形図(2)



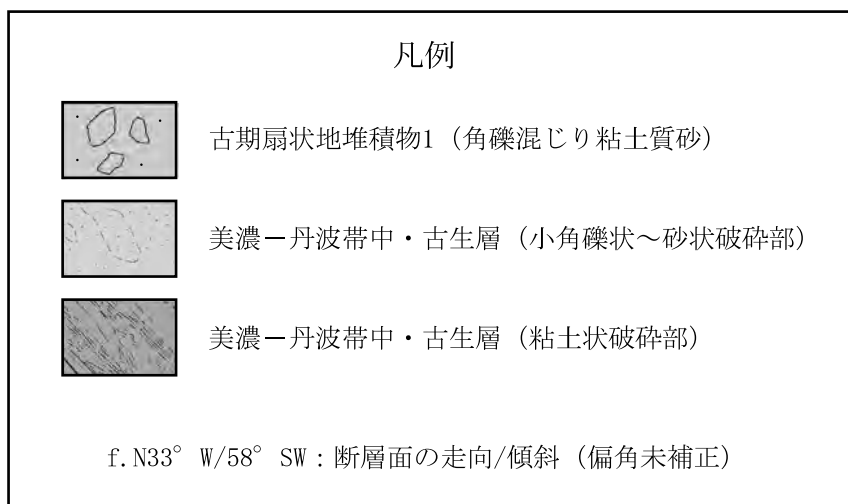
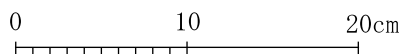
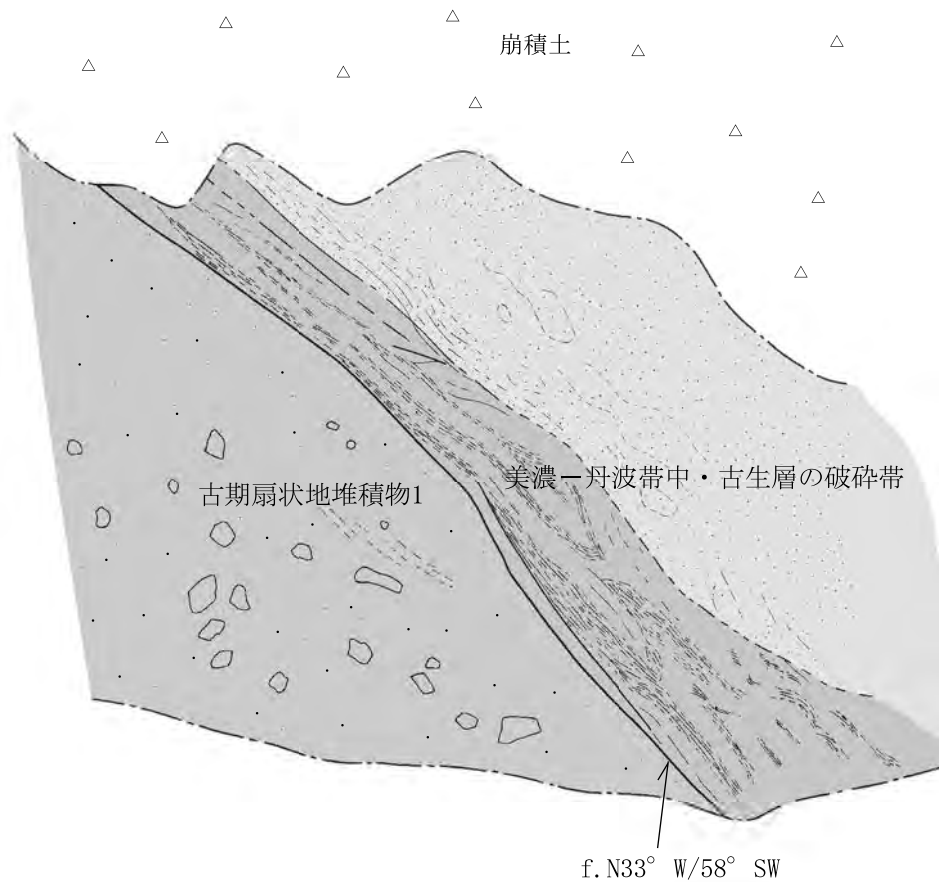
第7.4.2.155図 野坂断層周辺陸域の地質図
6-7-4-487



第7.4.2.156図 野坂断層周辺陸域の地質断面図

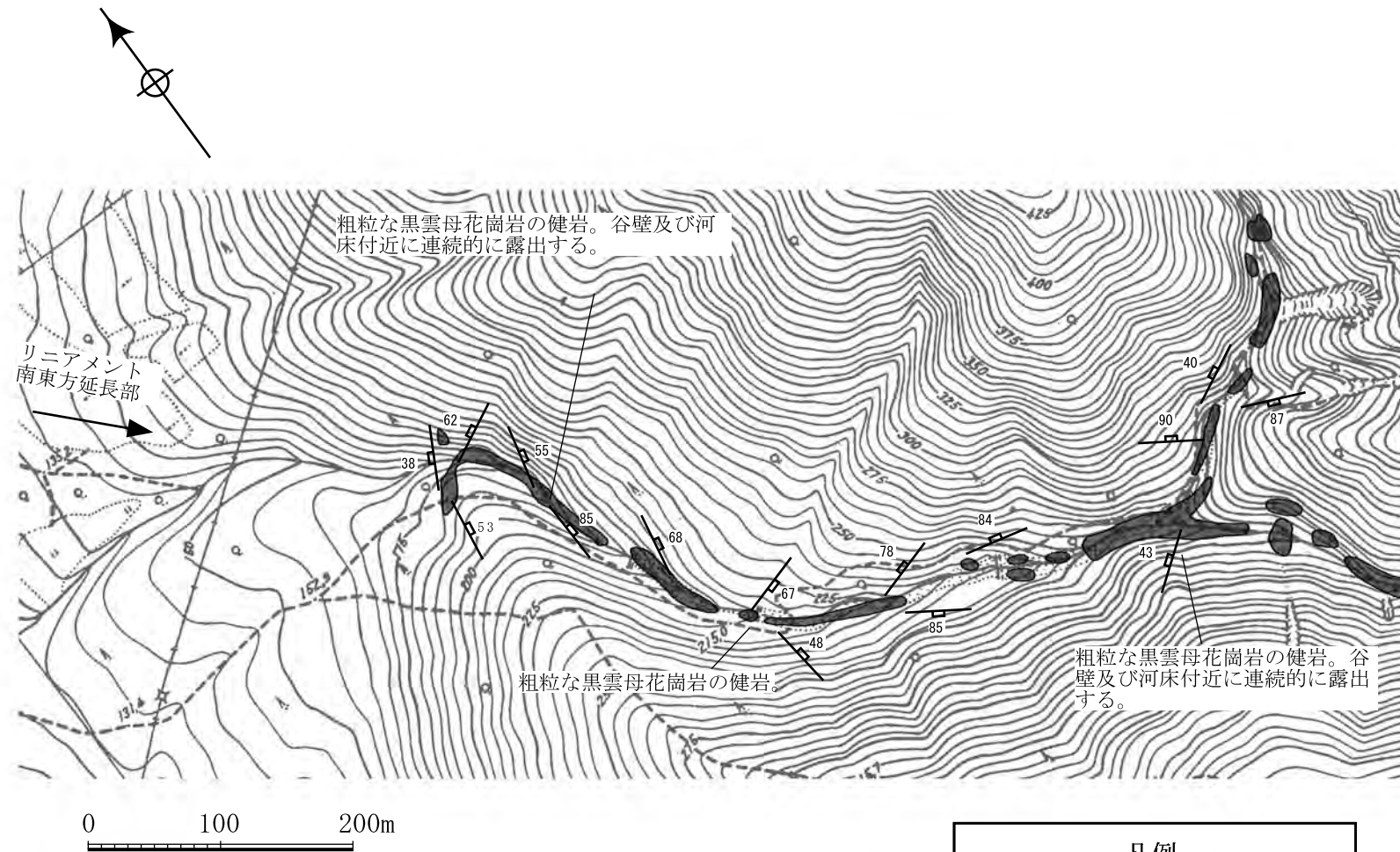
NE

SW

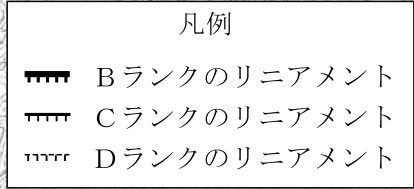
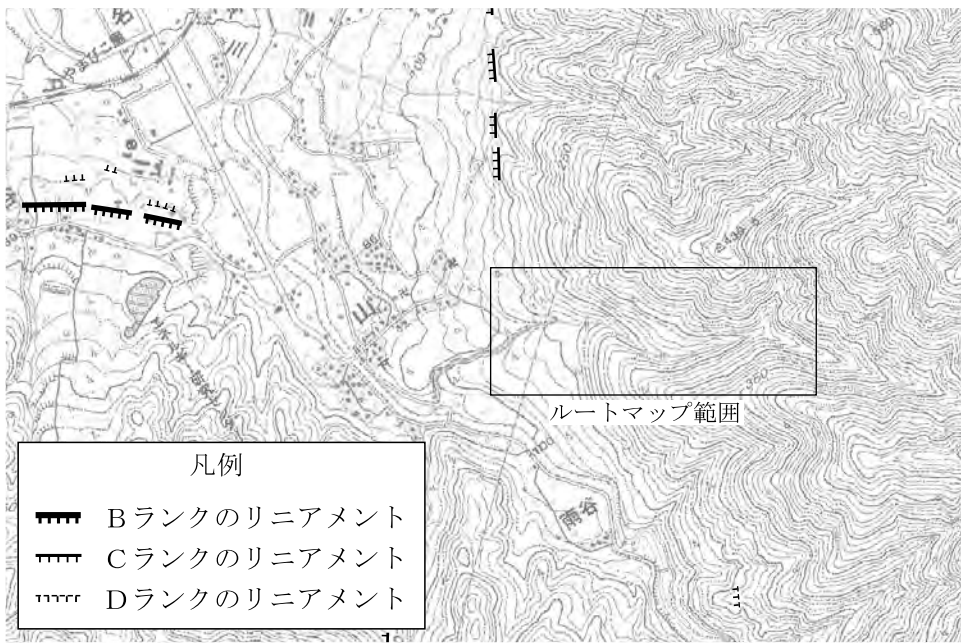
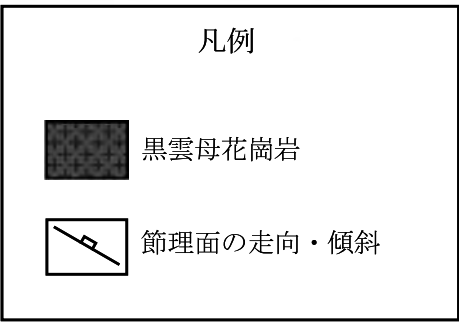


リニアメント付近において、古期扇状地堆積物1と美濃一丹波帯中・古生層の破碎帯が見かけ逆断層で接している。断層面の走向はリニアメント方向と調和的である。粘土状破碎部は幅4cm～10cmである。

第7.4.2.157図 野坂断層 野坂西方の露頭スケッチ (Loc.N-4)



0 100 200m



0 0.5 1km

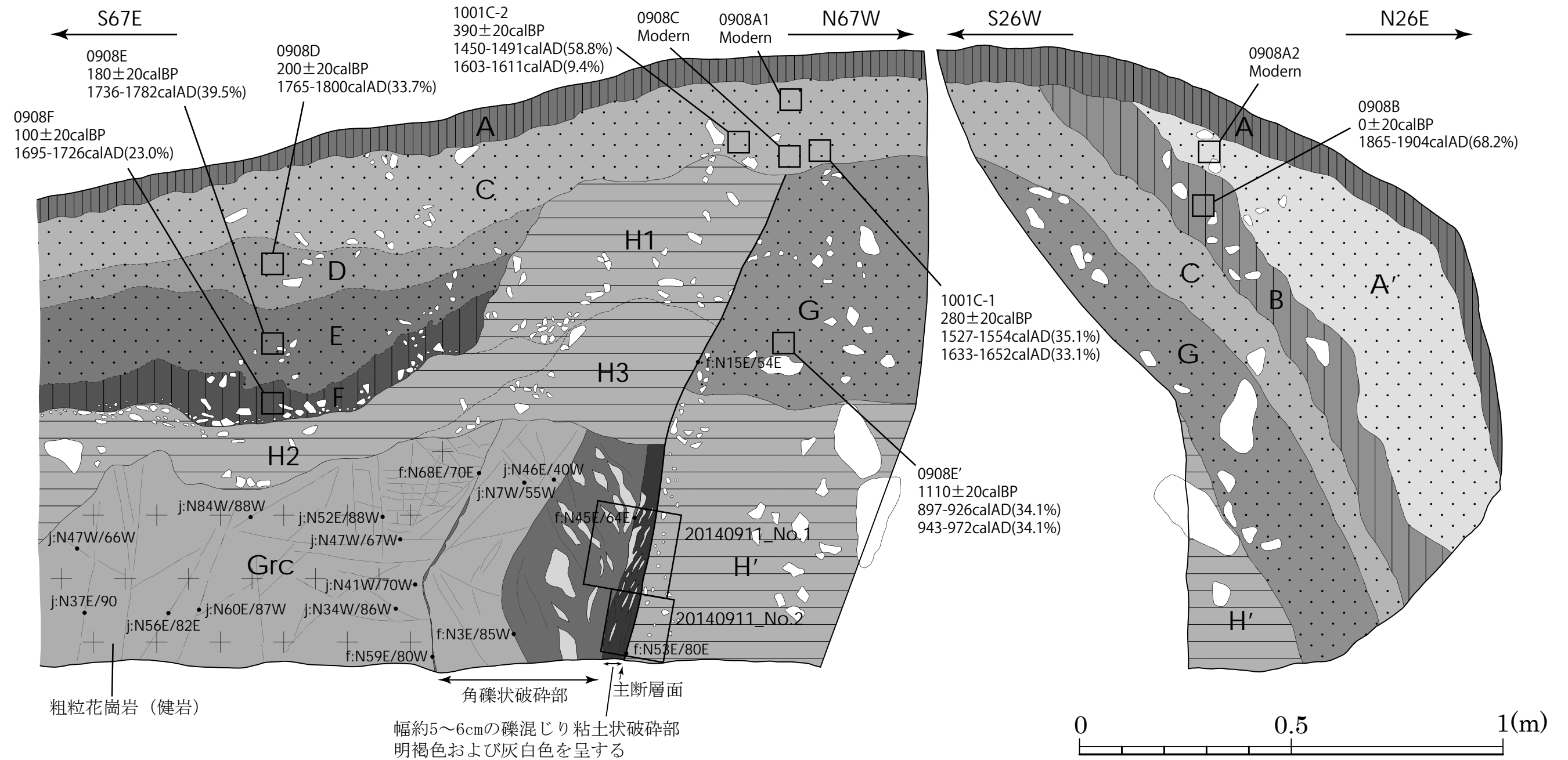
「この地図は、国土地理院長の承認を得て、同院発行の5千分1 国土基本図、数値地図200000（地図画像）及び数値地図 25000（地図画像）を複製したものである。（承認番号 平27情複、第397号）」

第7.4.2.158図 野坂断層南端付近 山付近のルートマップ (Loc.N-5)



花崗岩と堆積層の境界に断界に断層が認められる。花崗岩には幅約50cmの破砕帯が分布し、主断層面付近に幅約5cmの礫混じり粘土状破砕部を伴う。

第7.4.2.159図 野坂断層 山南西方付近の露頭写真 (Loc.N-6)



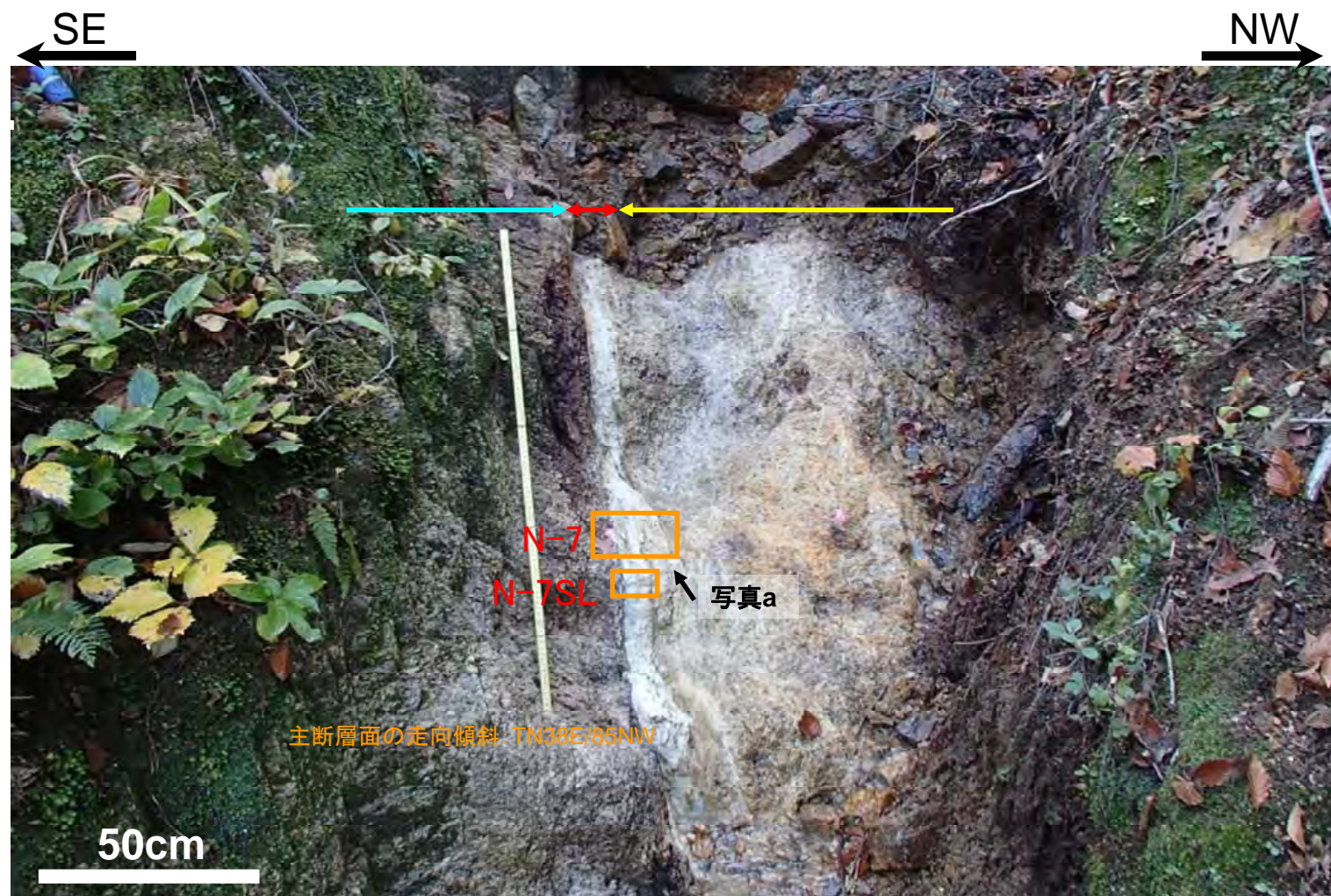
粗粒花崗岩 (健岩)

角礫状破碎部
幅約5~6cmの礫混じり粘土状破碎部
明褐色および灰白色を呈する

凡例					
	A 表土 (有機質シルト)		H1 谷底堆積物 (シルト質礫)		破碎部中のフラグメント
	A' 斜面堆積物 (礫質シルト)		H2 谷底堆積物 (シルト質礫)		堆積層中の礫
	B 斜面堆積物 (有機物混じり礫質砂)		H3 谷底堆積物 (シルト質礫)	f:N37E/87SE	断層面の走向・傾斜(偏角補正済み)
	C 斜面堆積物 (シルト質礫)		H' 谷底堆積物 (シルト質礫)	j:N47W/90	節理面の走向・傾斜(偏角補正済み)
	D 斜面堆積物 (礫混じり砂質シルト)		Grc 粗粒花崗岩		ブロックサンプリング位置
	E 斜面堆積物 (礫混じり砂質シルト)		礫混じり粘土状破碎部		炭素年代測定試料採取位置
	F 斜面堆積物 (有機物混じり砂・シルト質礫)		角礫状破碎部 (粘土含有)	0908B	試料番号
	G 斜面堆積物 (砂・シルト質礫)		角礫状破碎部	0±20calBP	14C年代 (δ ¹³ C補正值)
				1865-1904calAD(68.2%)	暦年代 (確率)

野坂岳南東断層の断層崖延長の北東向き斜面上に断層露頭を確認した。断層露頭には、花崗岩とそれを覆う斜面堆積物が分布する。花崗岩と堆積層の境界には断層が認められ、花崗岩側には幅約50cmの破碎帯が分布する。破碎帯は主に角礫状破碎部からなり、主断層面付近に幅約5cmの礫混じり粘土状破碎部を伴う。斜面堆積物は上位からA~H層に区分され、斜面傾斜に調和的に60°程度北東に傾斜して分布する。斜面堆積物中では、H1層およびH3層とG層およびH'層に断層構造が確認された。断層がG層に変位を与え、C層に覆われることから、最新活動時期はG層(1,110±20calBP)堆積後、C~F層(100-390calBP)堆積以前である。

第7.4.2.160図 野坂断層 山南西方付近の露頭スケッチ (Loc.N-6)

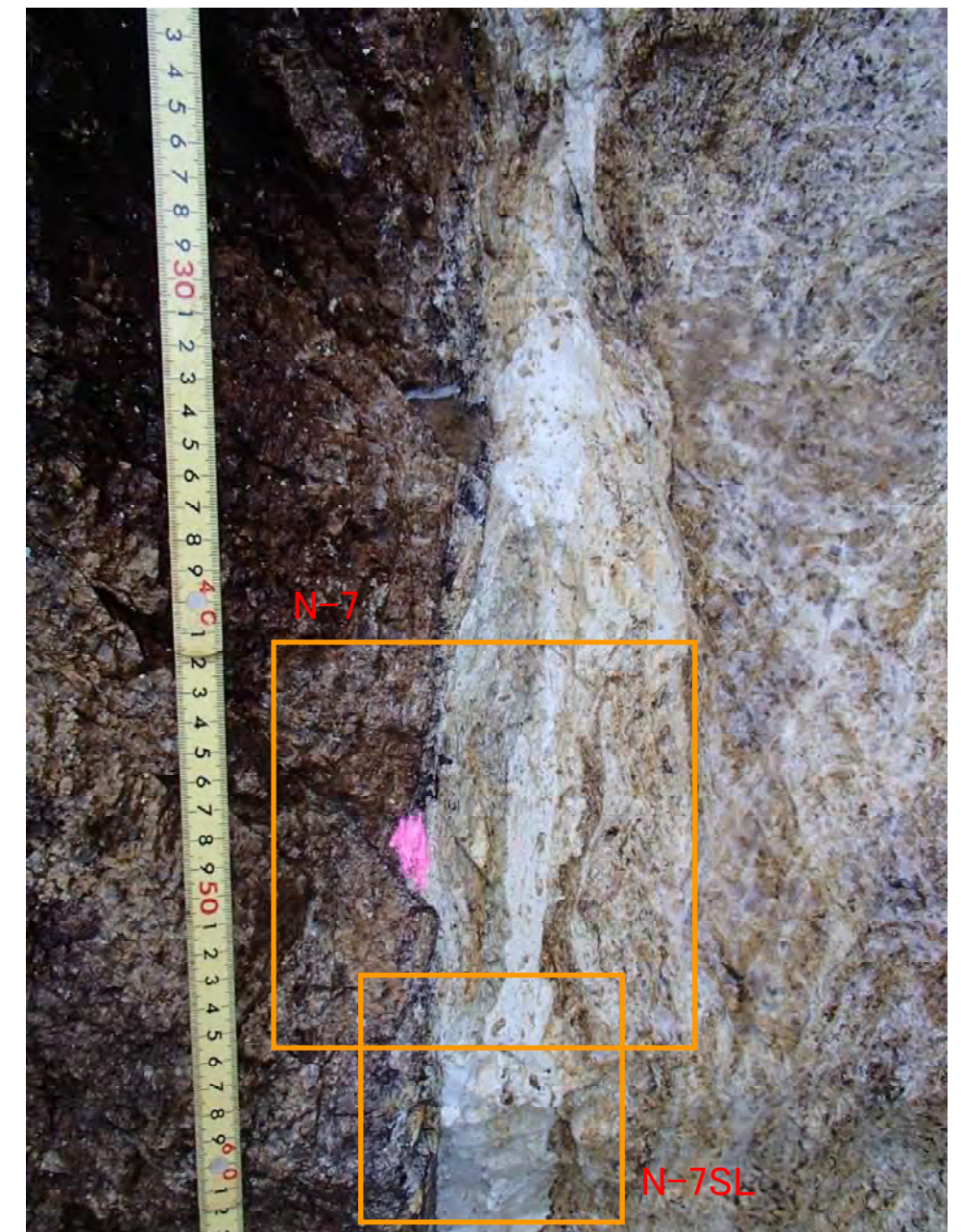


- ←→ 健岩
- ←→ 固結した角礫状破碎部
- ←→ 粘土状破碎部

礫混じり粘土状破碎部（約5cm）を含む破碎幅約80cm以上の断層

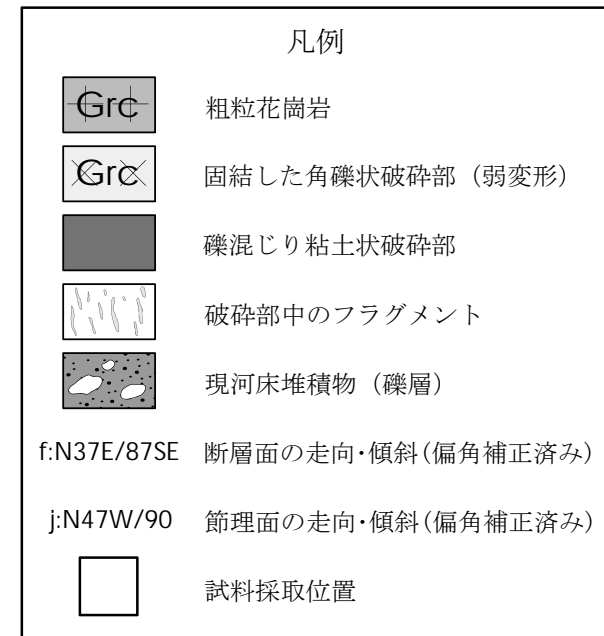
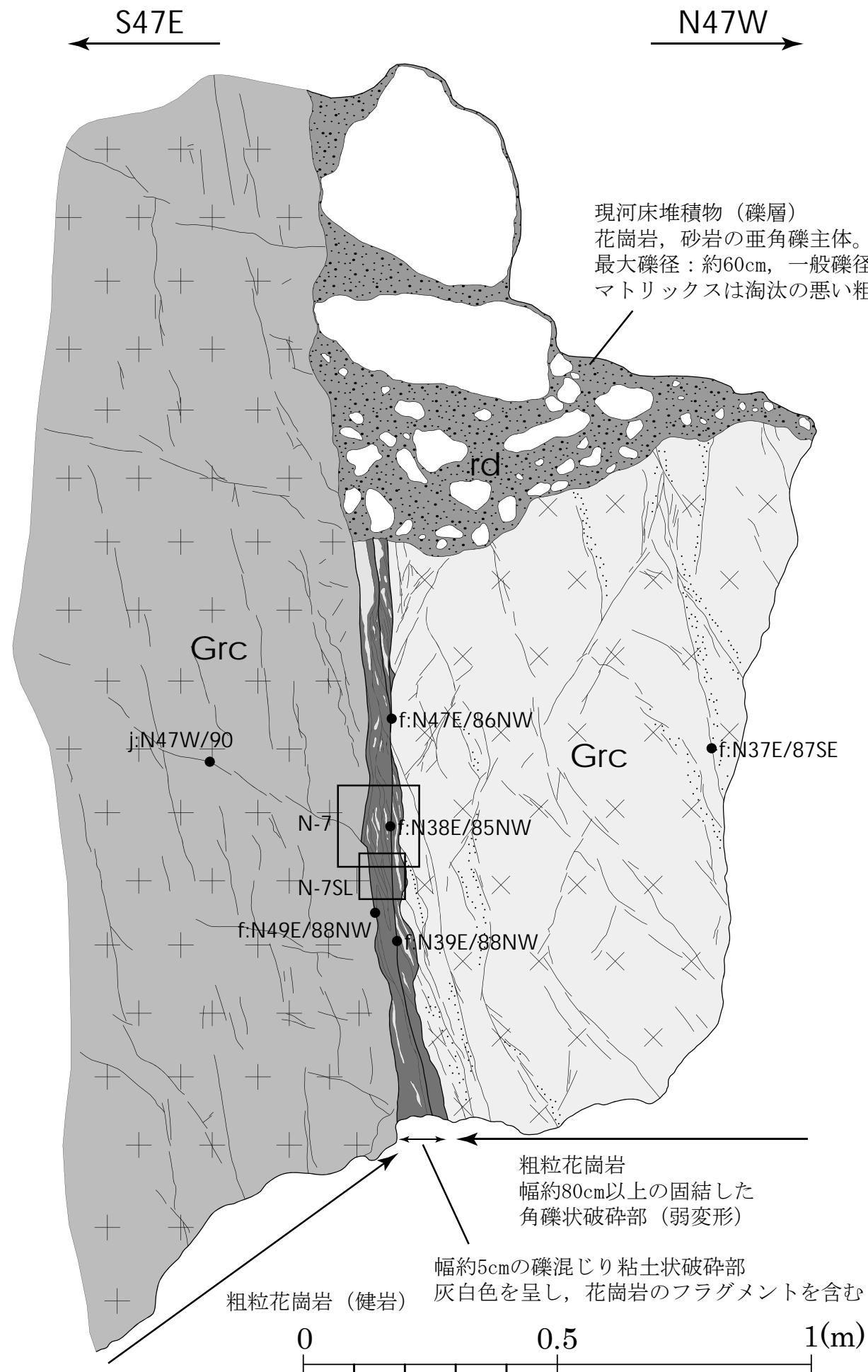
- ・ 固結した角礫状破碎部：プロトカタクレーサイト
- ・ 粘土状破碎部：複合面構造は認められない

ブロックサンプリング位置



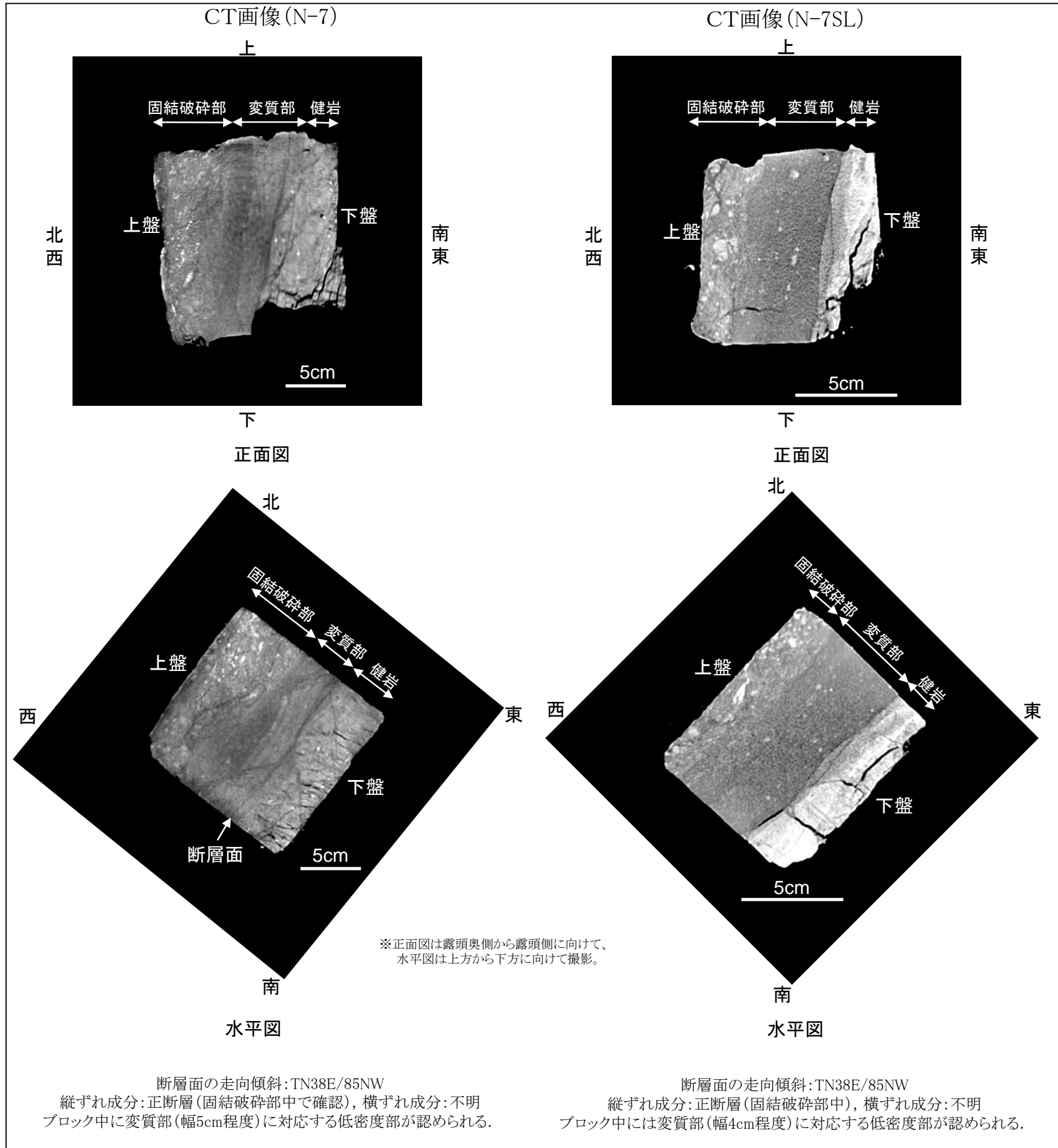
写真a 変質部には複合面構造は認められない。

第7.4.2.161図 野坂断層 野坂岳南東方リニアメントの露頭写真 (Loc.N-7)

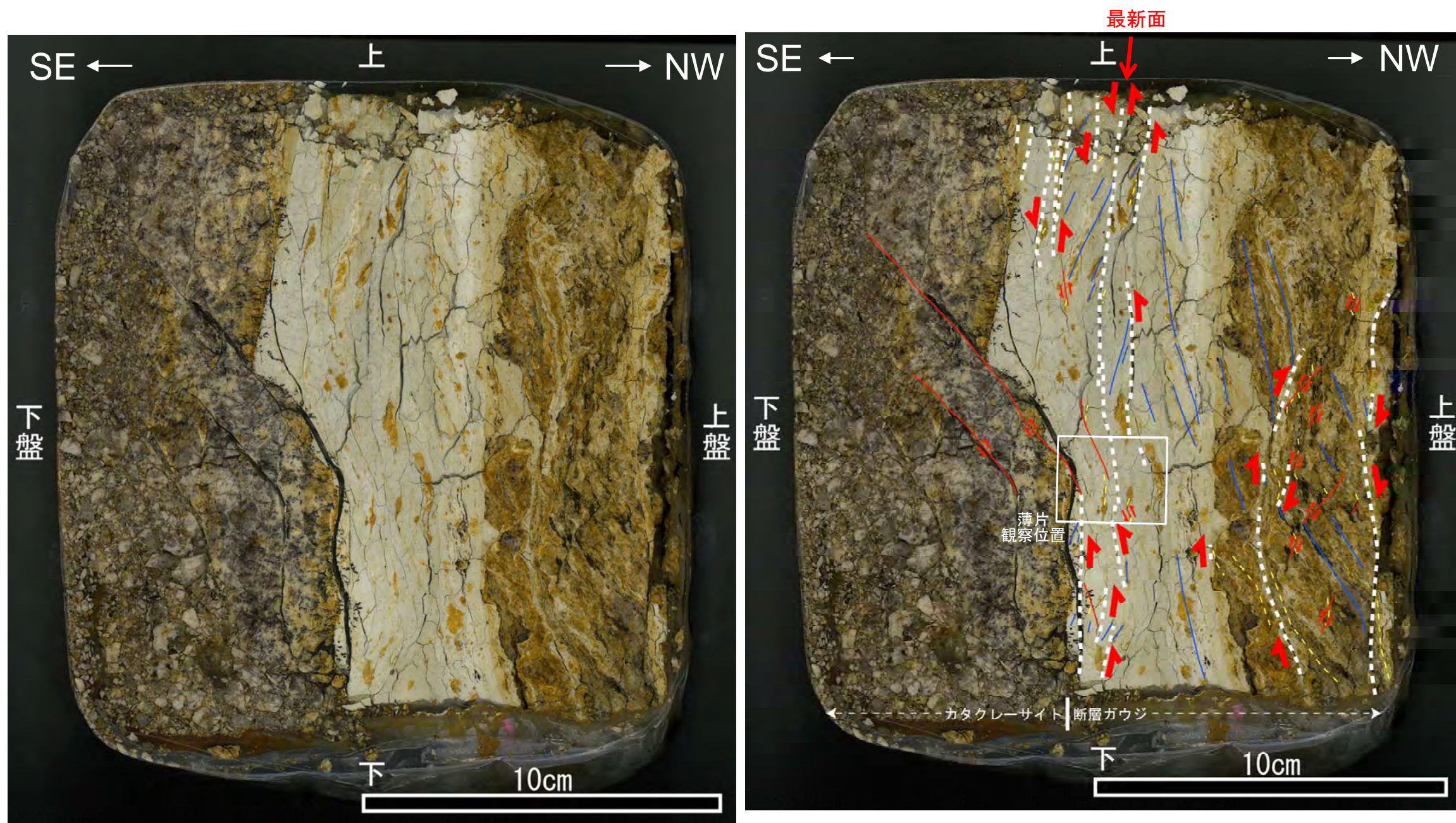


野坂岳南東断層南西部の谷底にリニアメント方向と調和的な走向の破砕帯露頭が認められる。破砕帯は幅約5cmの灰白色を呈する礫混じり粘土状破砕部からなり，北西側に幅約80cm以上の固結した角礫状破砕部（弱変形）を伴う。破砕帯を覆う現河床堆積物に変位・変形は認められない。

第7.4.2.162図 野坂断層 野坂岳南東方リニアメントの露頭スケッチ (Loc.N-7)



第7.4.2.163図 野坂断層 野坂岳南東方リニアメントの破碎部 ブロック試料のCT画像観察結果及び条線観察結果 (Loc.N-7)

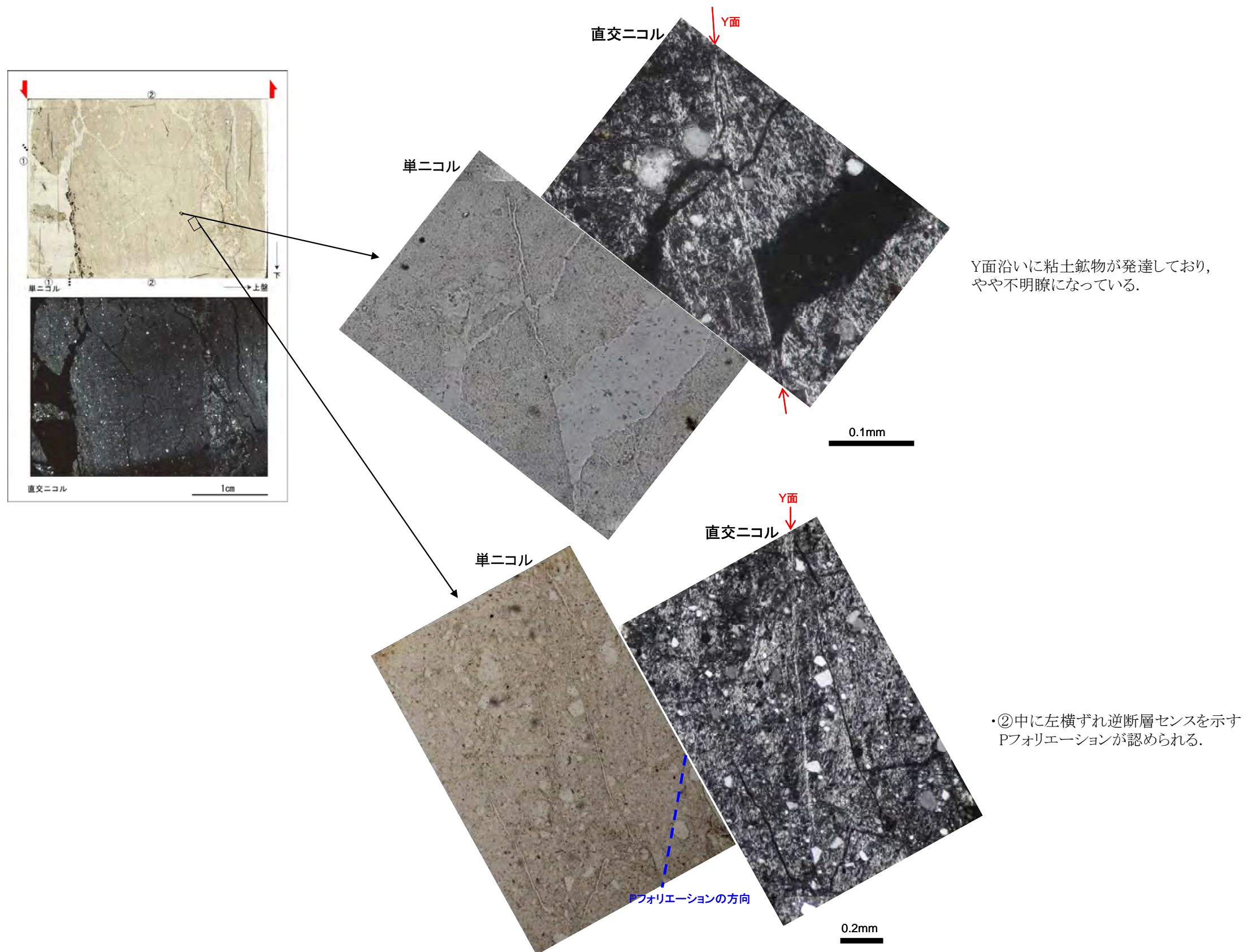


- R1面
- P面
- ひきずりの構造

研磨片観察結果

- ・分帯: 研磨片中にはカタクレーサイトと断層ガウジが認められる。
- 断層ガウジのうち、研磨片右側(幅5cm程度)はカタクレーサイト起源のフラグメントが多数認められ、研磨片中央部(幅5cm程度)では研磨片右側に比べフラグメントが少なく細粒化している。
- ・Y面は研磨片中央部の断層ガウジ中で多数確認されるとともに、研磨片右側のフラグメント中などで数条認められる。認められるY面のうち、研磨片中央部のY面はミ型の雁行配列をしながら研磨片を横断し、その他のY面はいずれも研磨片を横断せず、直線性に欠ける。
- ・以上のフラグメントの細粒化とY面の連続性・直線性から、研磨片中央部のY面を最新面に認定した。
- ・研磨片中央部の断層ガウジ中には左横ずれ逆断層センスを示す変形指標が多数認められ、研磨片右側の断層ガウジとカタクレーサイト中では右横ずれ成分を示す変形指標が認められる。さらに、研磨片中央部に分布するY面から延びるR1面により、カタクレーサイトが左横ずれ逆断層変位している。これらのことから、運動センスが右横ずれから左横ずれ逆断層に反転した可能性がある。

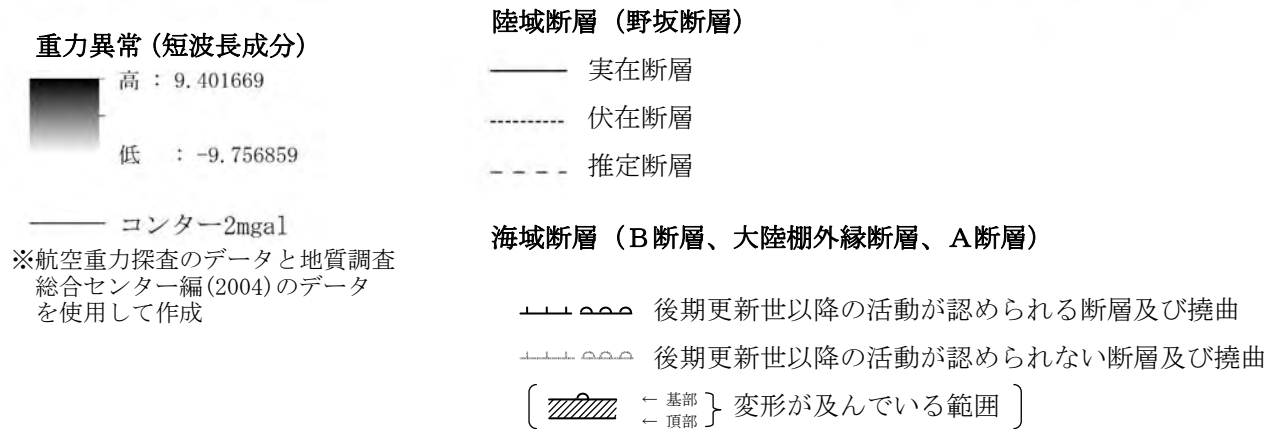
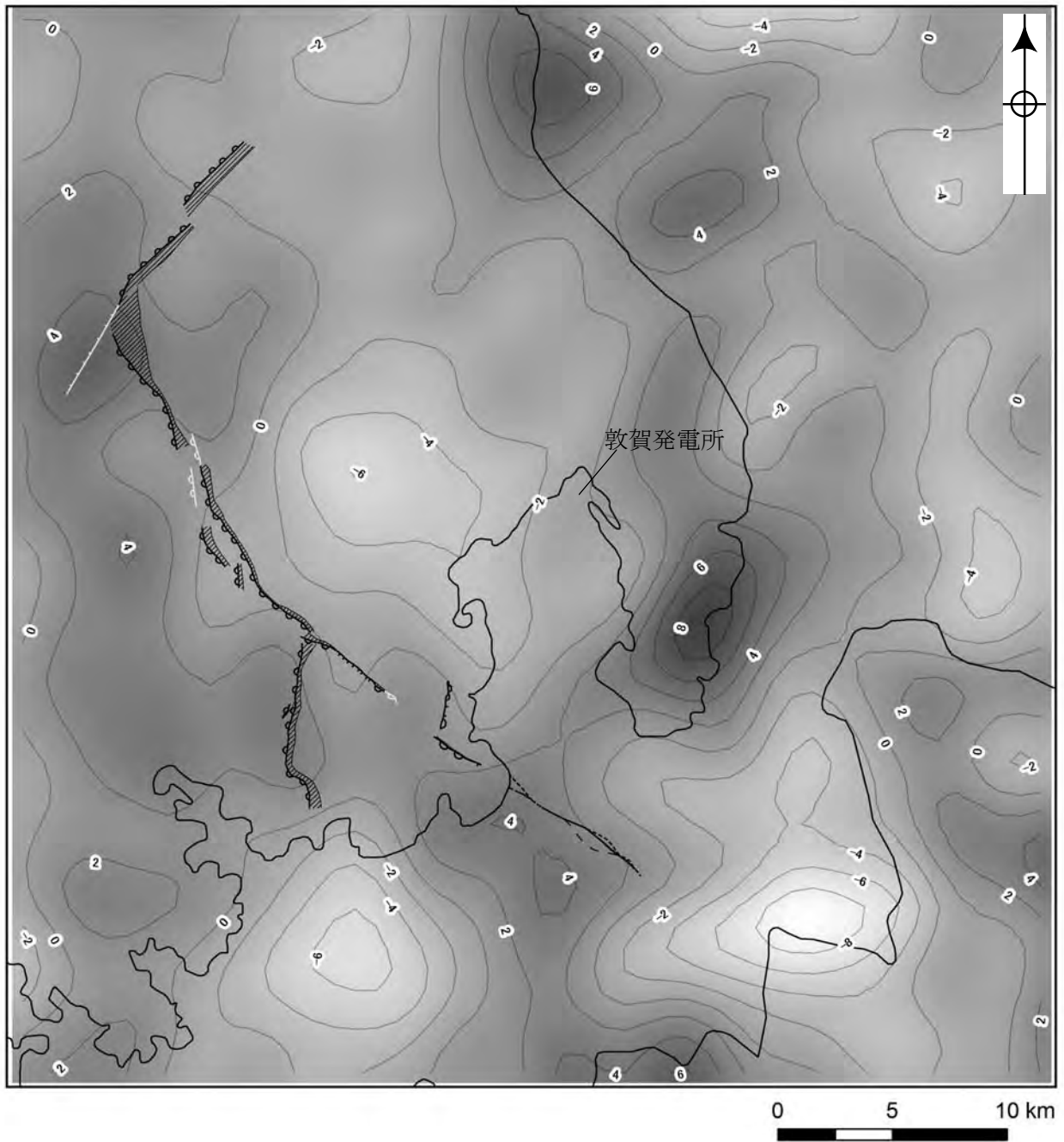
第7.4.2.164図 野坂断層 野坂岳南東方リニアメントの破碎部 ブロック試料の研磨片観察結果 (Loc.N-7)



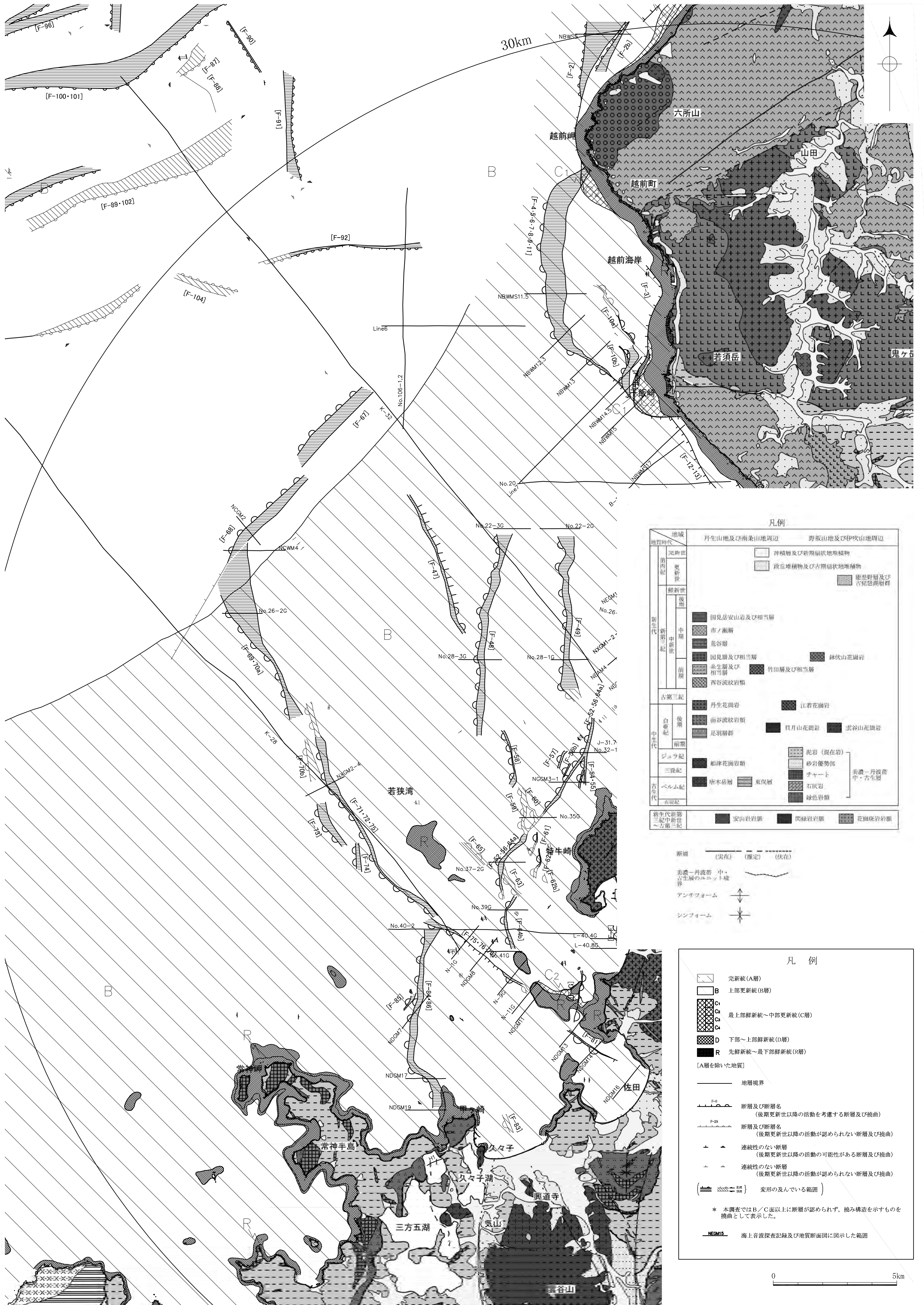
薄片観察結果

- 分帯: ①カタクレーサイト, ②断層ガウジ
- 分帯はテクスチャーに基づく。
- Y面は数条認められるが、薄片を横断するY面は認められない。全てのY面沿いに粘土鉱物が発達しており、やや不明瞭になっている。断層ガウジ中には全体として左横ずれ逆断層センスを示す変形指標が認められる。①と②の境界付近に不透明鉱物が発達する。
- ①: 薄片作成時の欠如部が多い。フラグメントは主に石英からなり、マトリックスは細粒砕屑物とセリサイトからなる。破碎流動と波動消光が認められる。
- ②: フラグメントは石英や黒雲母、セリサイトからなり、カタクレーサイト起源のフラグメントが認められる。マトリックスは細粒の粘土鉱物からなる。

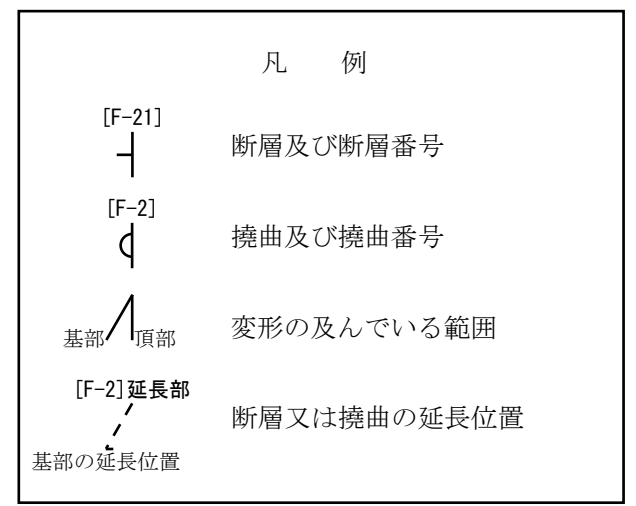
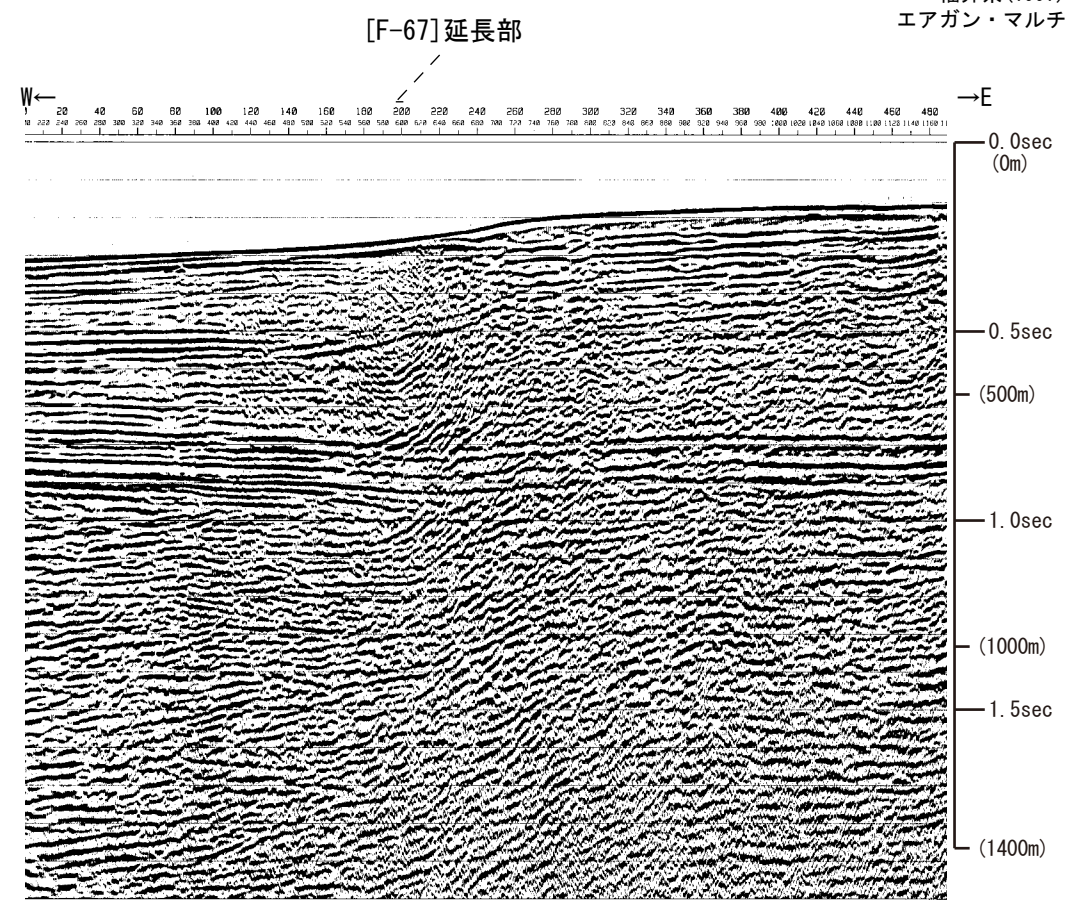
第7.4.2.165図 野坂断層 野坂岳南東方リニアメントの破碎部 ブロック試料の薄片観察結果 (Loc.N-7)



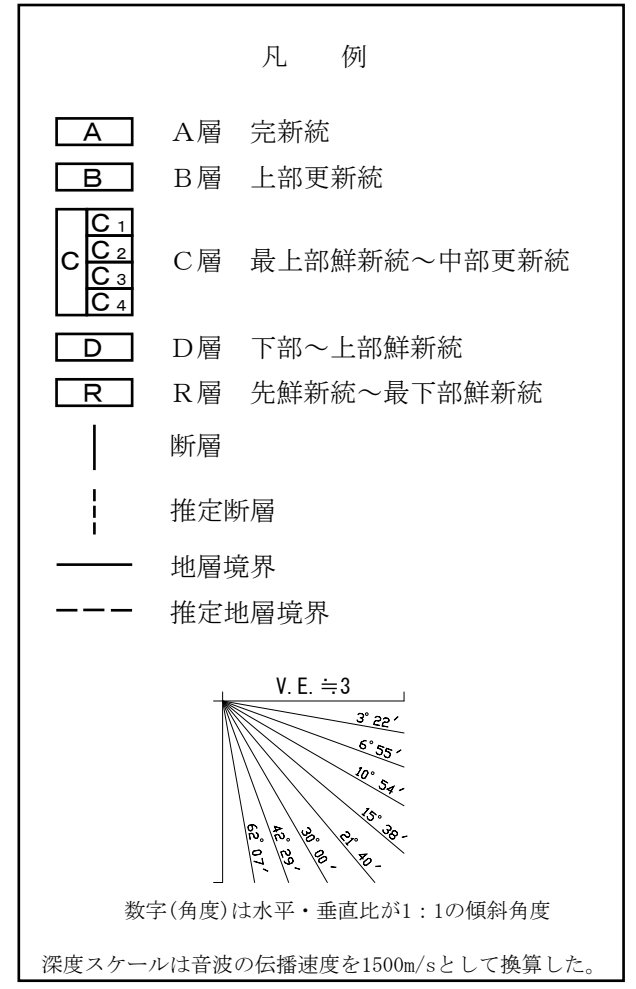
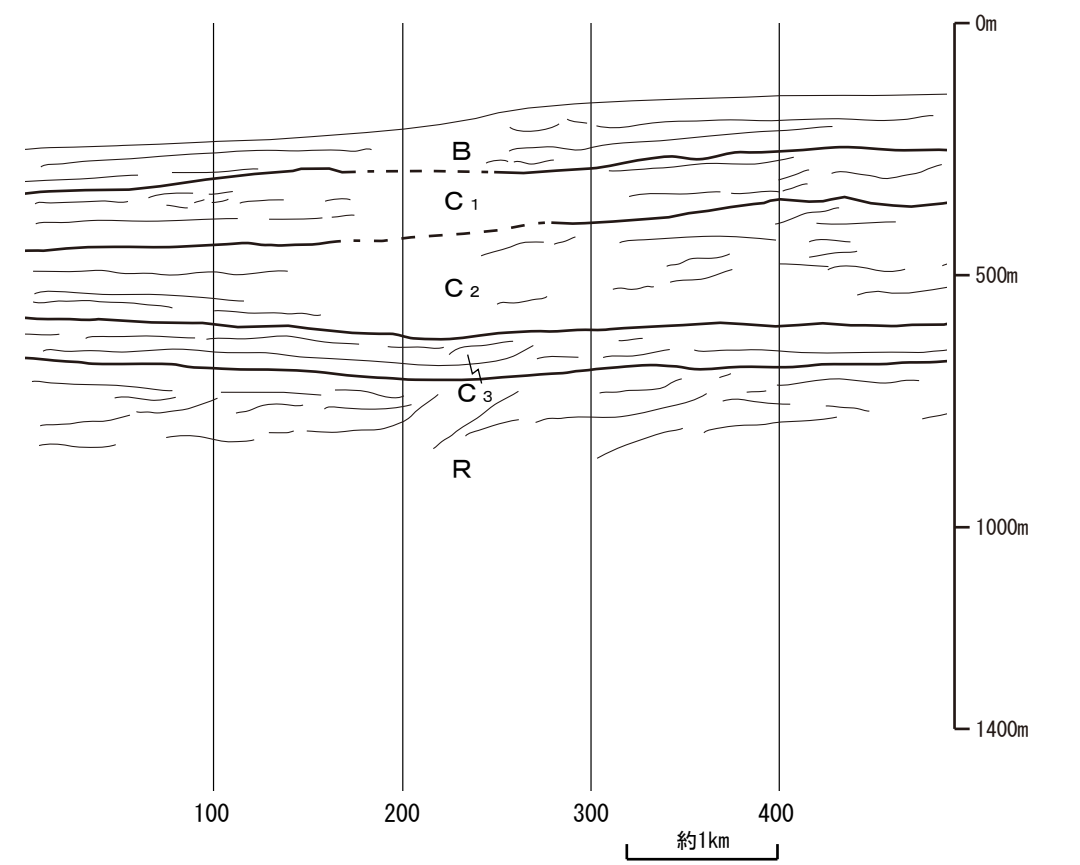
第7.4.2.166図 野坂断層，B断層及び大陸棚外縁断層周辺の短波長重力異常図



第7.4.2.167図 野坂断層，B断層及び大陸棚外縁断層の周辺陸域及び海域の地質図



音波探査記録は、福井県(1997)「柳ヶ瀬断層帯(柳ヶ瀬断層, 山中断層, 甲楽城断層)に関する調査成果報告書」の原資料である。地質断面図は、申請者の解釈によるものである。



第7.4.2.168図(1) 野坂断層, B断層及び大陸棚外縁断層の海上音波探査記録及び地質断面図(Line6)

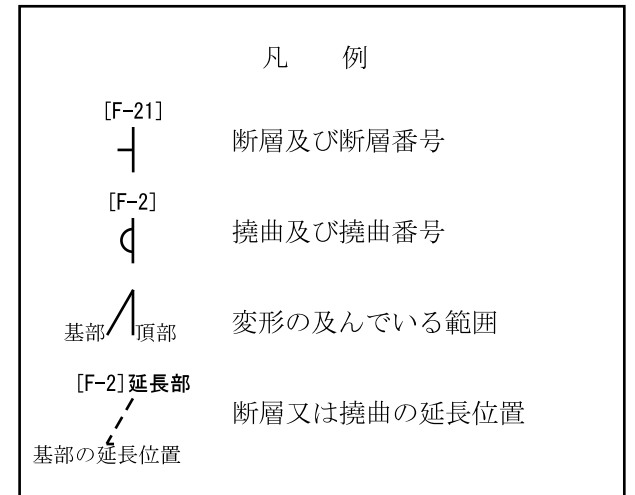
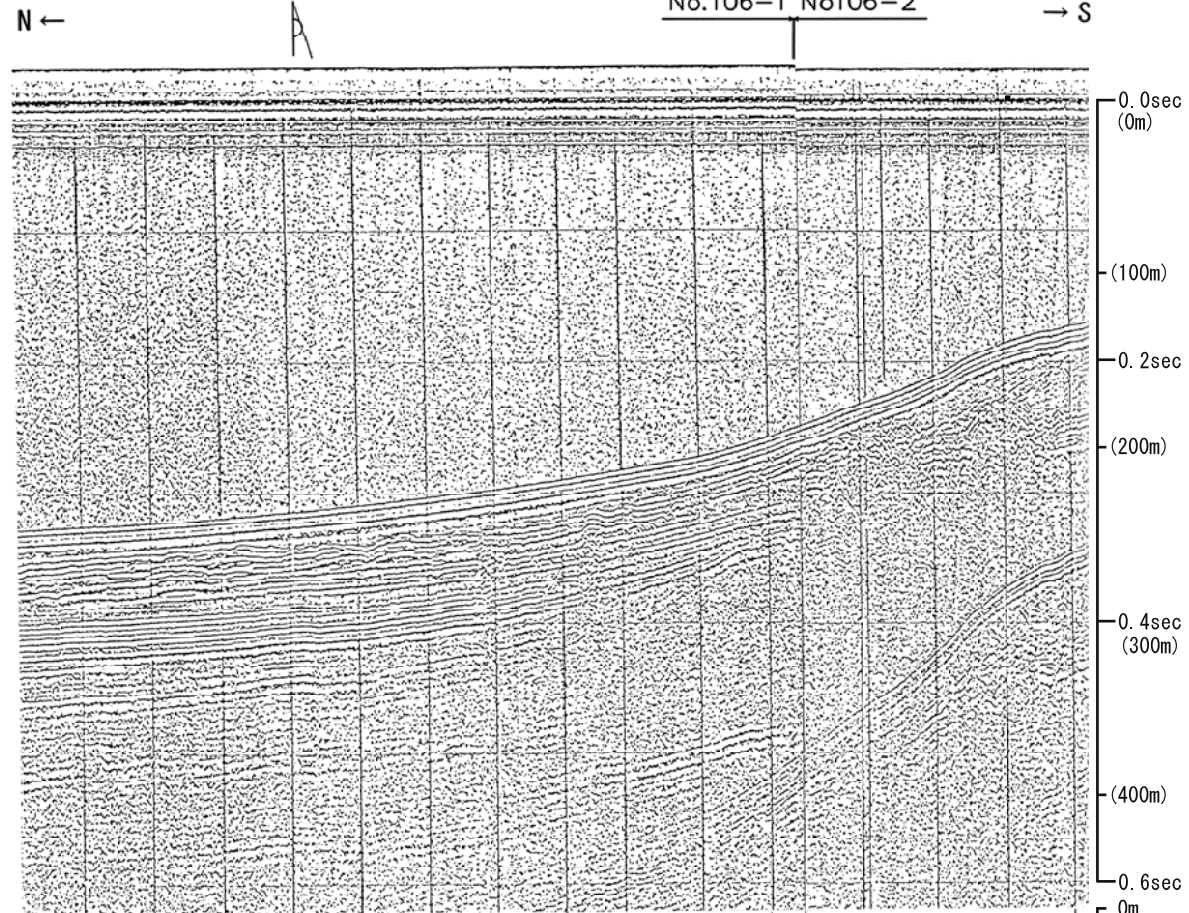
[F-67] 延長部

No. 106

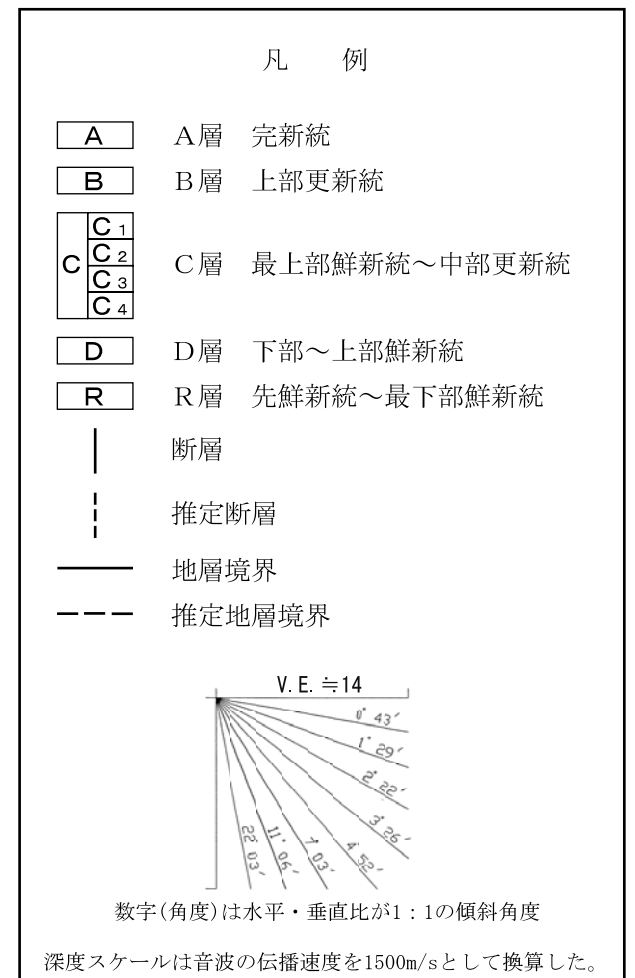
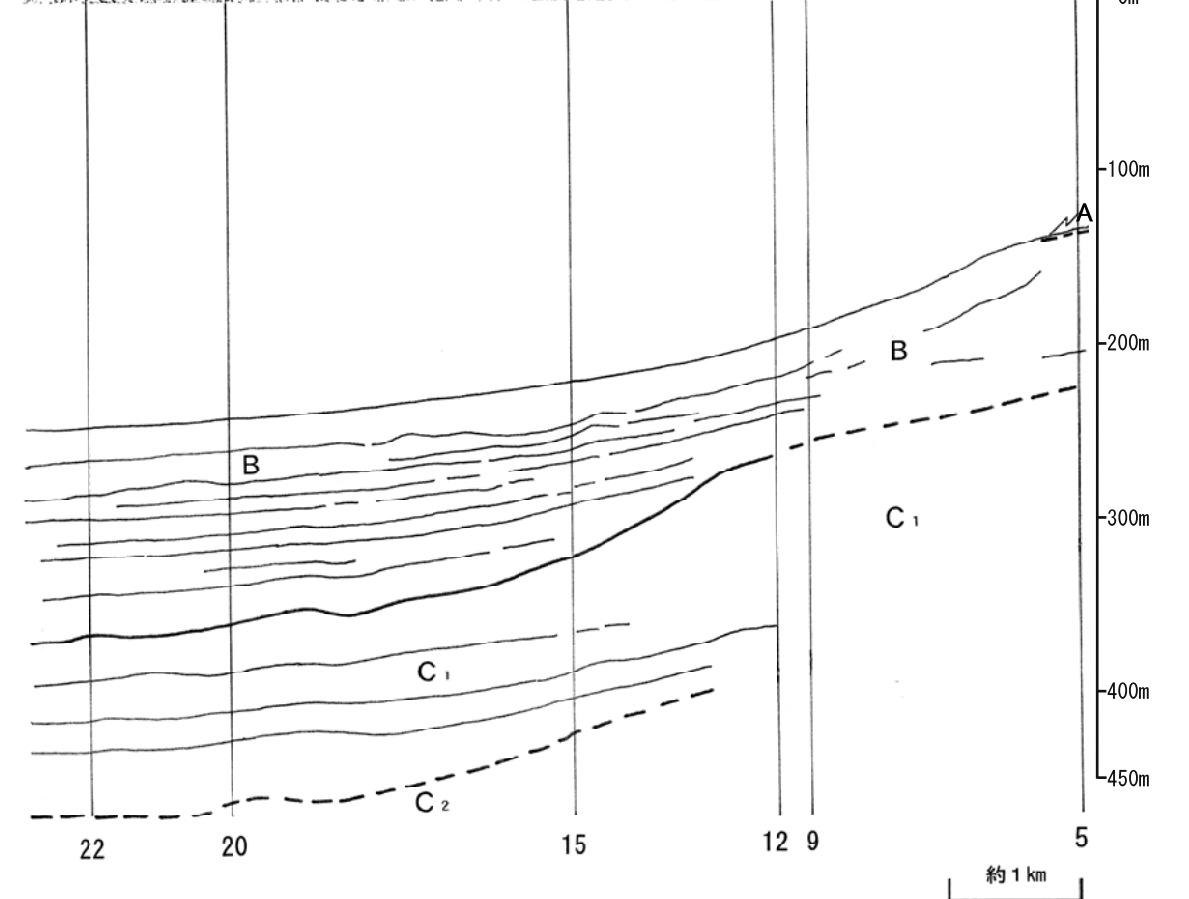
海保(1980)
スーパーカー

[F-92]

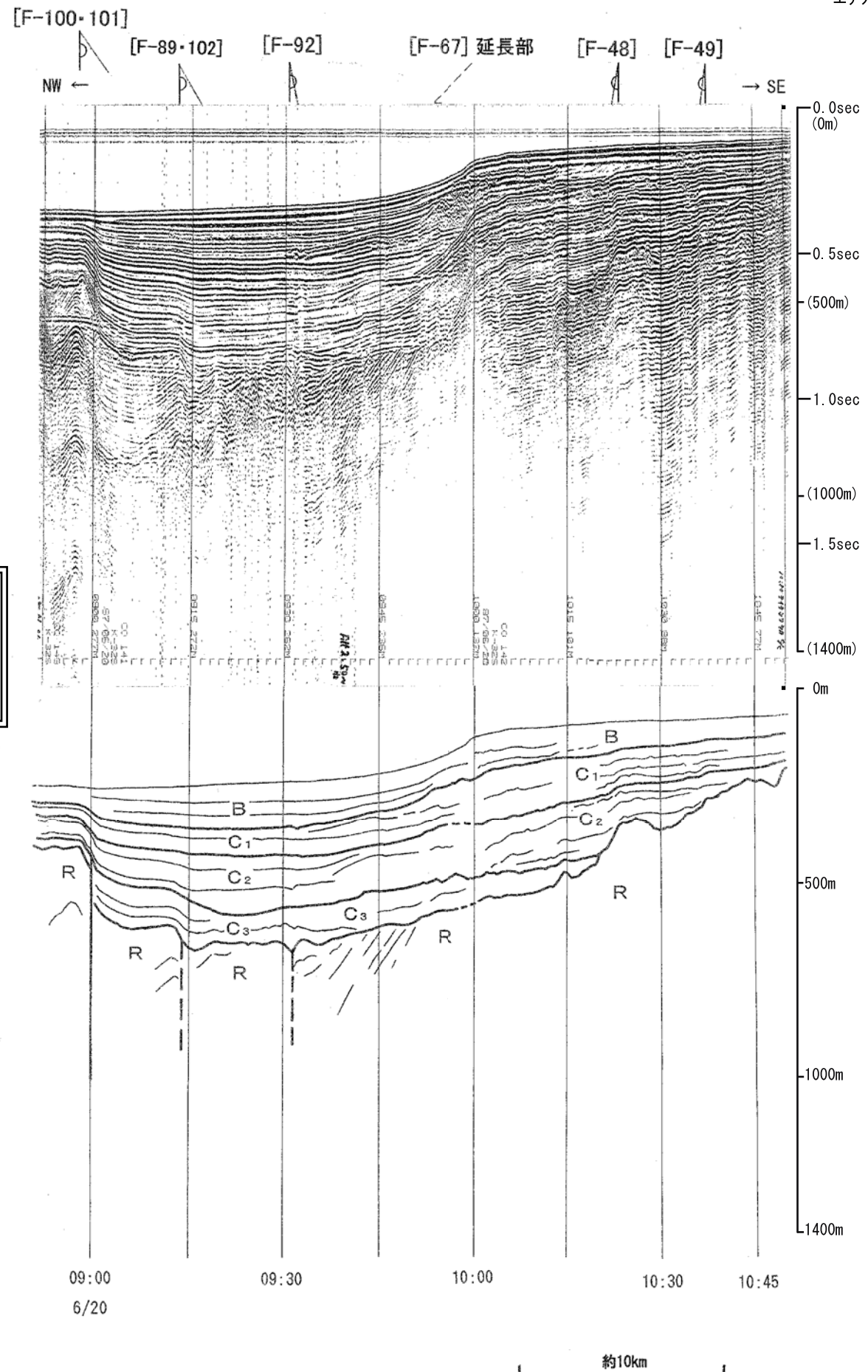
No.106-1 No106-2



音波探査記録は、海上保安庁水路部（現海上保安庁海洋情報部）の沿岸の海の基本図「若狭湾東部」の原資料である。
地質断面図は、申請者の解釈によるものである。



第7.4.2.168図(2) 野坂断層, B断層及び大陸棚外縁断層の海上音波探査記録及び地質断面図 (No.106-1, 2)



音波探査記録は、地質調査所（現産業技術総合研究所）の「ゲンタツ瀬海底地質図」の原資料である。
地質断面図は、申請者の解釈によるものである。

凡 例

- [F-21] 断層及び断層番号
- [F-2] 撓曲及び撓曲番号
- 基部 頂部 変形の及んでいる範囲
- [F-2]延長部 断層又は撓曲の延長位置
- 基部の延長位置

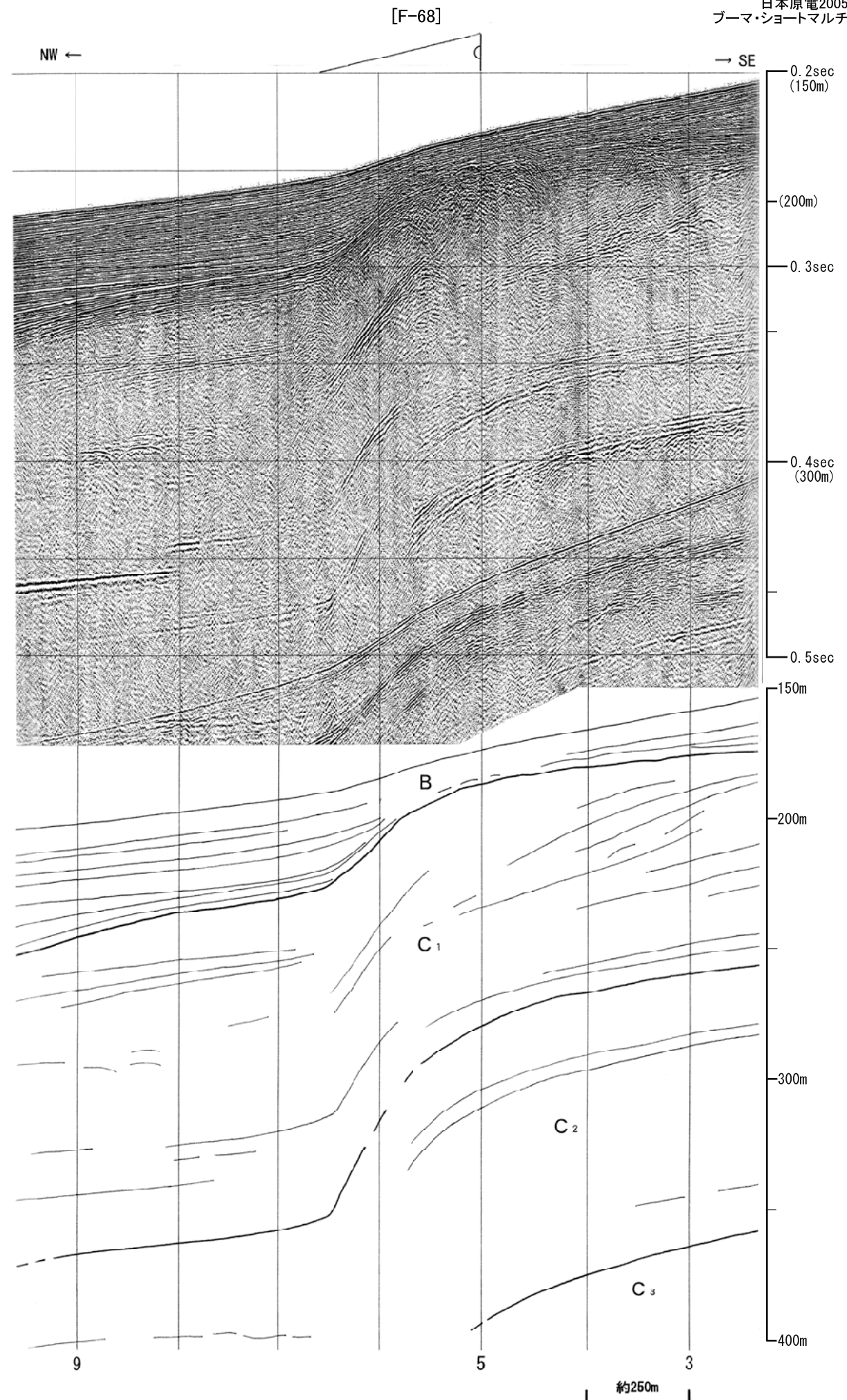
凡 例

- A A層 完新統
- B B層 上部更新統
- C C層 最上部鮮新統～中部更新統
 - C₁
 - C₂
 - C₃
 - C₄
- D D層 下部～上部鮮新統
- R R層 先鮮新統～最下部鮮新統
- 断層
- 推定断層
- 地層境界
- 推定地層境界

V. E. ≒ 19

数字(角度)は水平・垂直比が1:1の傾斜角度
深度スケールは音波の伝播速度を1500m/sとして換算した。

第7.4.2.168図(3) 野坂断層, B断層及び大陸棚外縁断層の海上音波探査記録及び地質断面図(K-32)



凡 例

- [F-21] 断層及び断層番号
- [F-2] 撓曲及び撓曲番号
- 基部 頂部 変形の及んでいる範囲
- [F-2]延長部 断層又は撓曲の延長位置
- 基部の延長位置

凡 例

- A層 完新統
- B層 上部更新統
- C層 最上部鮮新統～中部更新統
 - C₁
 - C₂
 - C₃
 - C₄
- D層 下部～上部鮮新統
- R層 先鮮新統～最下部鮮新統
- 断層
- 推定断層
- 地層境界
- 推定地層境界

V. E. ≒ 6

1' 41'

3' 28'

5' 30'

7' 58'

11' 14'

16' 06'

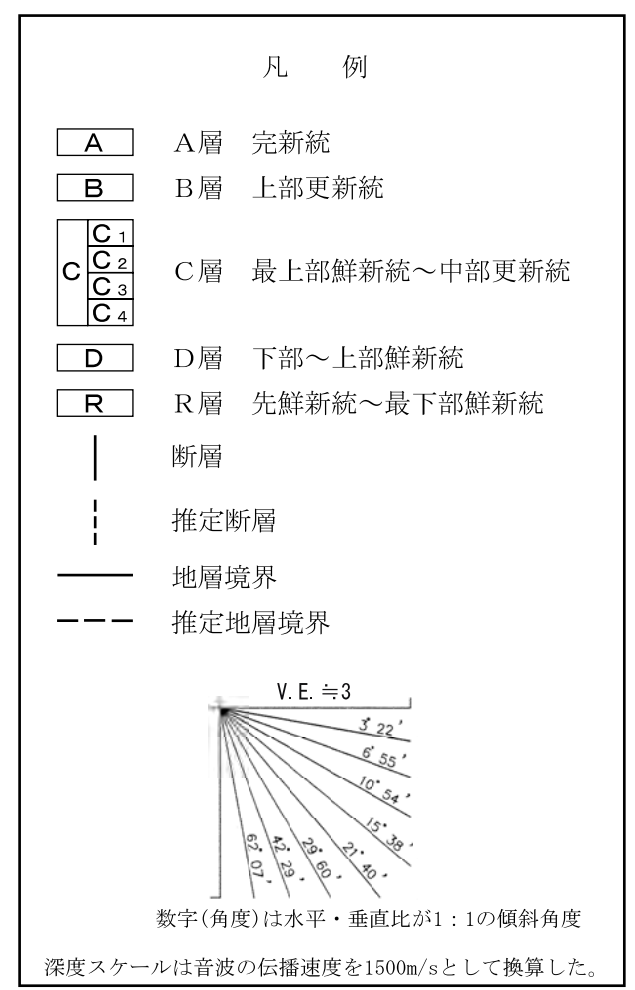
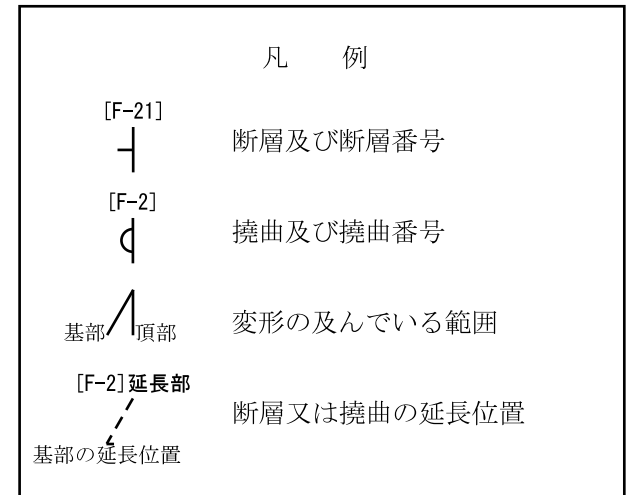
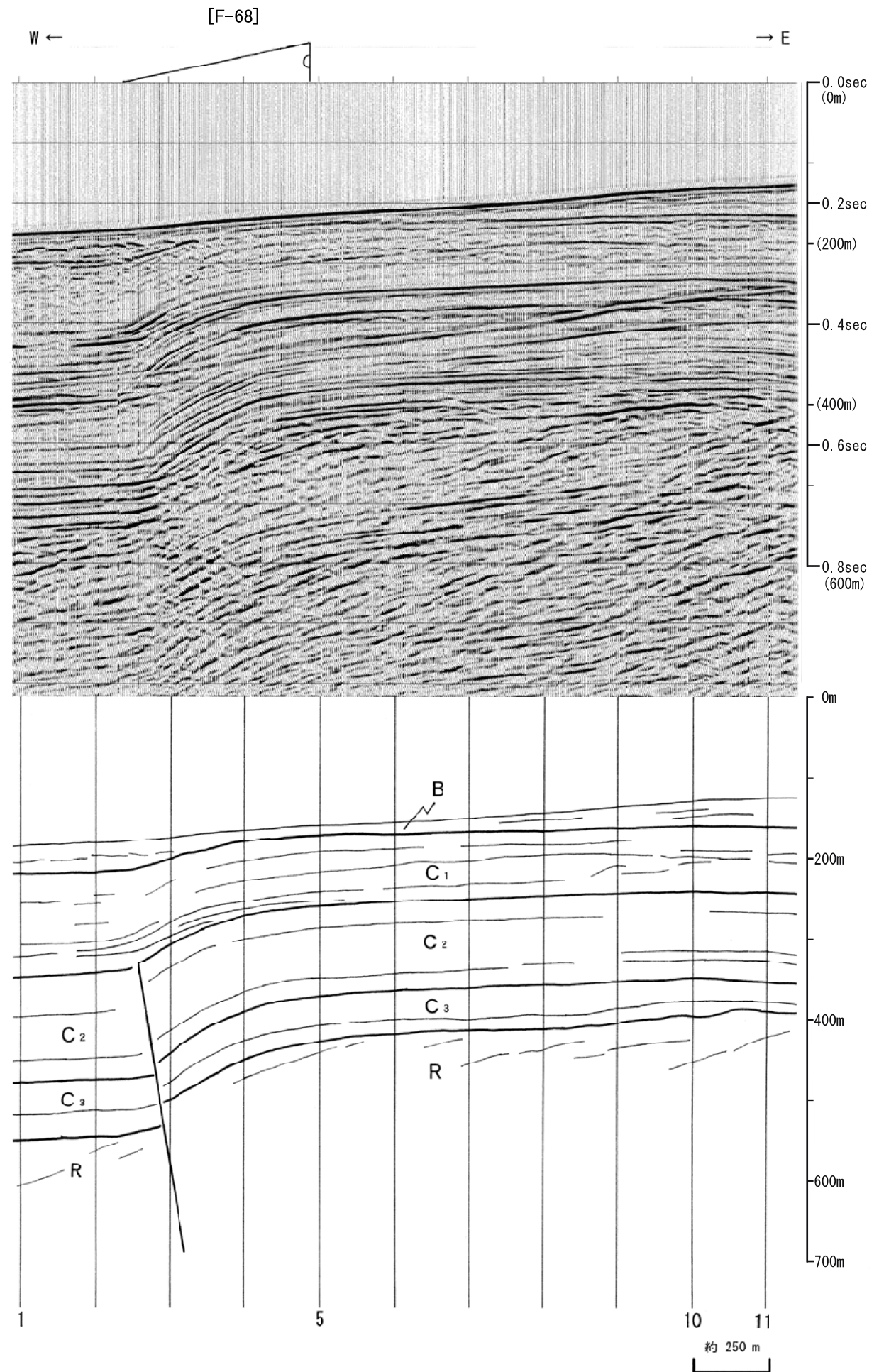
24' 35'

41' 33'

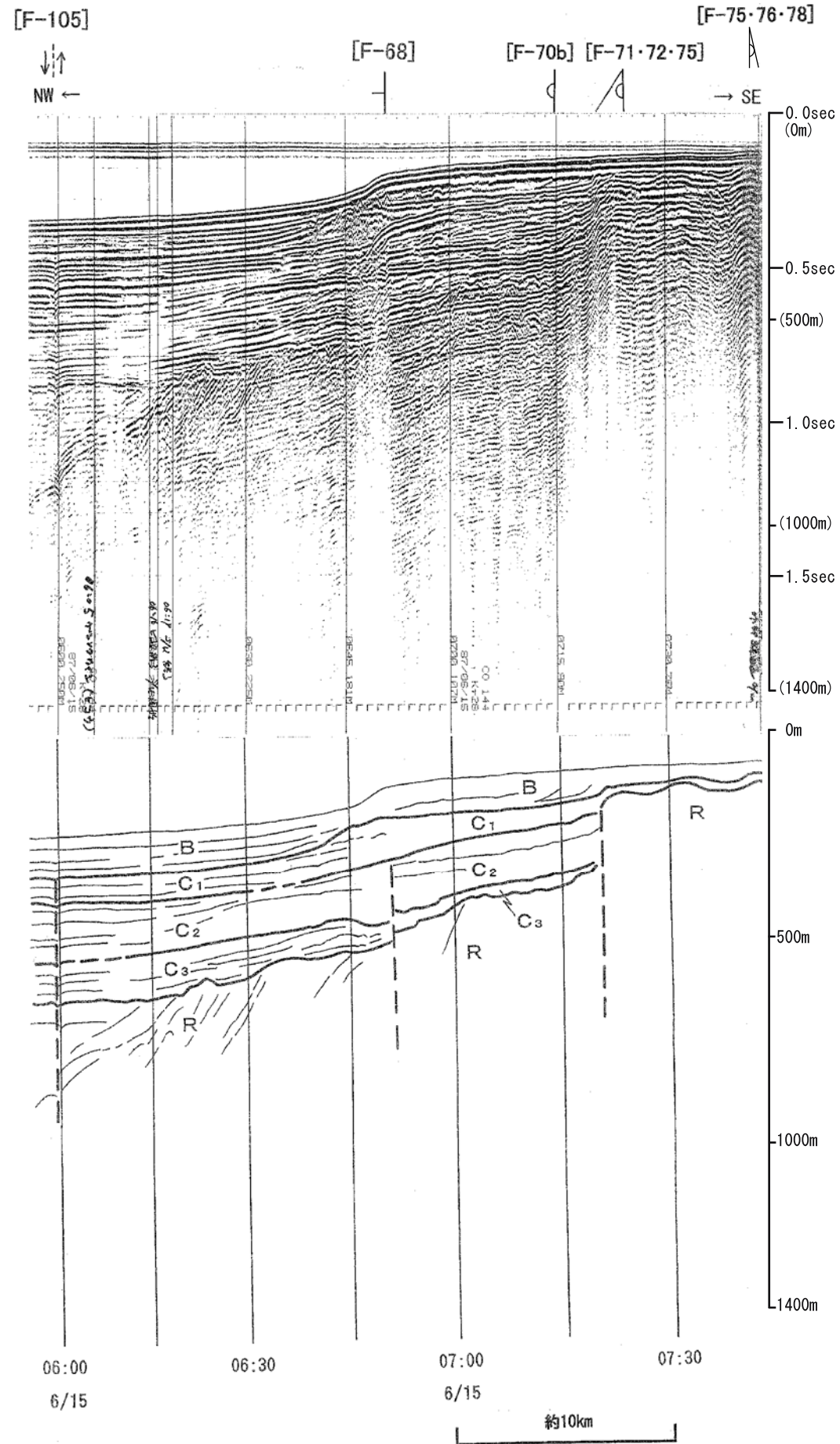
数字(角度)は水平・垂直比が1:1の傾斜角度

深度スケールは音波の伝播速度を1500m/sとして換算した。

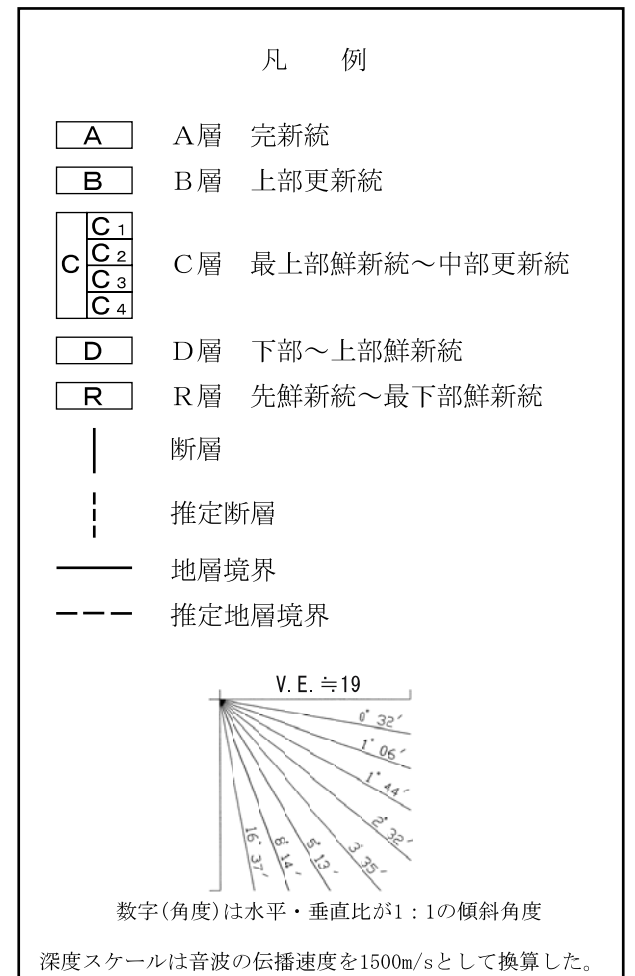
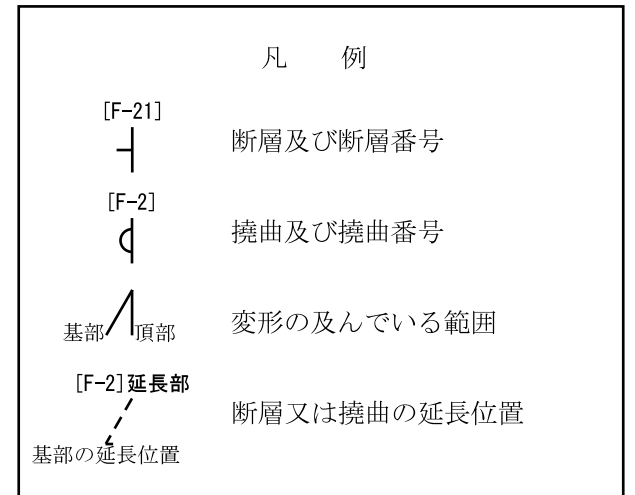
第7.4.2.168図(4) 野坂断層, B断層及び大陸棚外縁断層の海上音波探査記録及び地質断面図(NCGM2)



第7.4.2.168図(5) 野坂断層, B断層及び大陸棚外縁断層の海上音波探査記録及び地質断面図 (NCWM4)

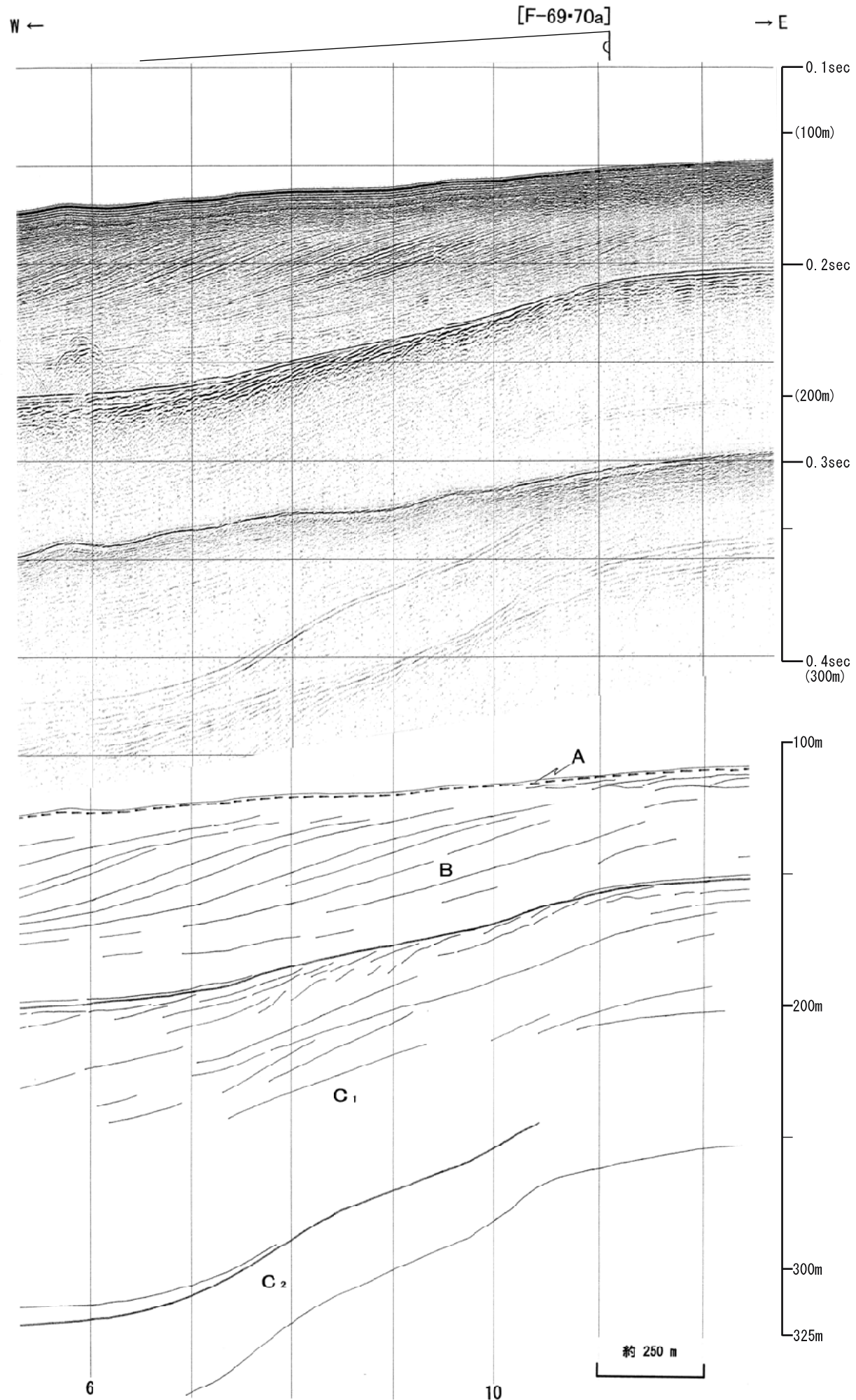


音波探査記録は、地質調査所（現産業技術総合研究所）の「ゲンタツ瀬海底地質図」の原資料である。
地質断面図は、申請者の解釈によるものである。



第7.4.2.168図(6) 野坂断層, B断層及び大陸棚外縁断層の海上音波探査記録及び地質断面図(K-28)

関西電力株式会社
 による音波探査記録



凡 例

- [F-21] 断層及び断層番号
- [F-2] 撓曲及び撓曲番号
- 基部 頂部 変形の及んでいる範囲
- [F-2] 延長部 断層又は撓曲の延長位置
- 基部の延長位置

凡 例

- A層 完新統
- B層 上部更新統
- C層 最上部鮮新統～中部更新統
 - C₁
 - C₂
 - C₃
 - C₄
- D層 下部～上部鮮新統
- R層 先鮮新統～最下部鮮新統
- 断層
- 推定断層
- 地層境界
- 推定地層境界

V. E. ≒ 6

1' 41'

3' 28'

5' 30'

7' 58'

11' 14'

16' 06'

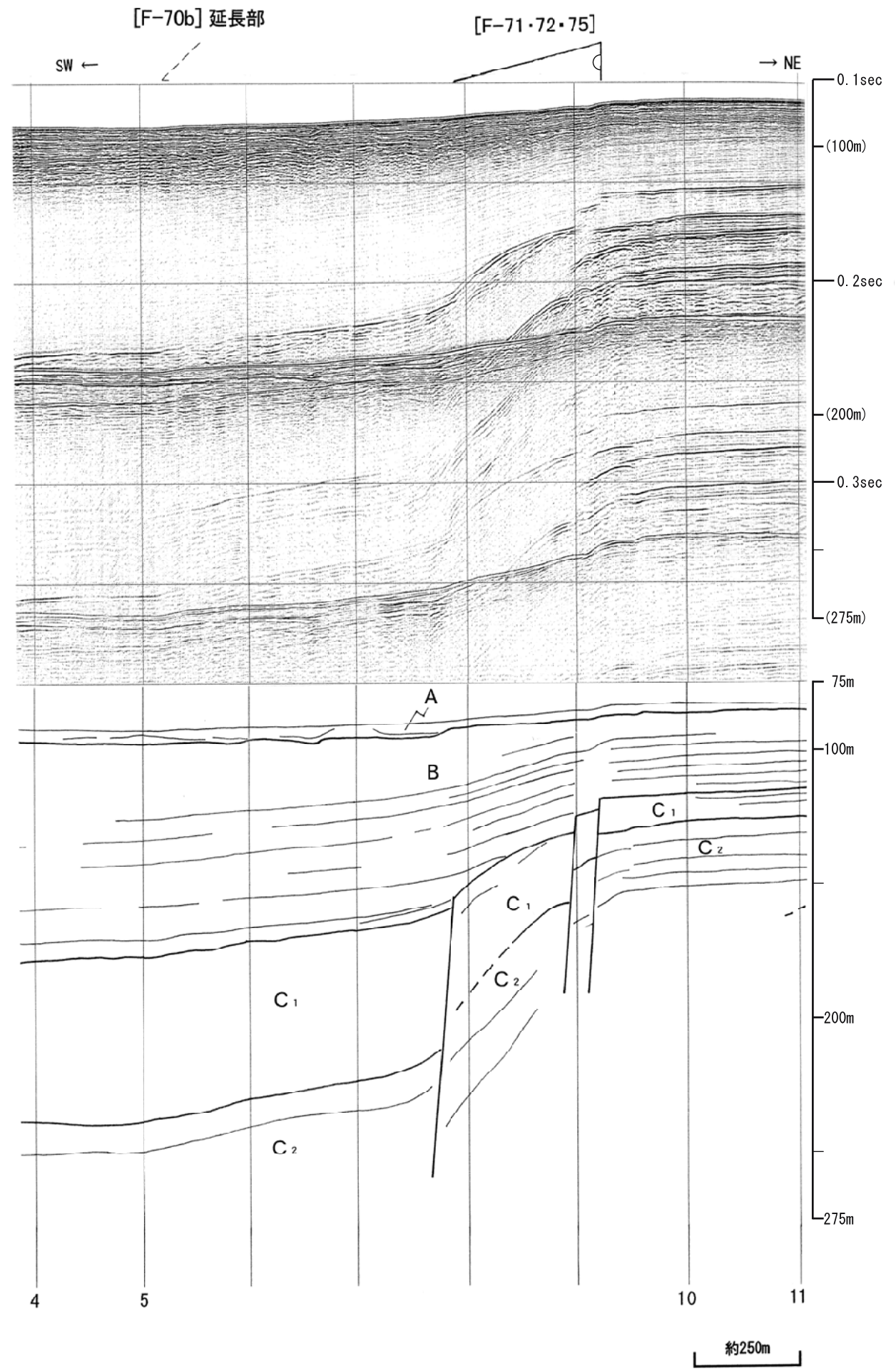
24' 35'

41' 33'

数字(角度)は水平・垂直比が1:1の傾斜角度

深度スケールは音波の伝播速度を1500m/sとして換算した。

第7.4.2.168図(7) 野坂断層, B断層及び大陸棚外縁断層の海上音波探査記録及び地質断面図 (No.26-2G)



凡 例

- [F-21] 断層及び断層番号
- [F-2] 撓曲及び撓曲番号
- 基部 頂部 変形の及んでいる範囲
- [F-2]延長部 断層又は撓曲の延長位置
- 基部の延長位置

凡 例

- A A層 完新統
- B B層 上部更新統
- C C層 最上部鮮新統～中部更新統
 - C₁
 - C₂
 - C₃
 - C₄
- D D層 下部～上部鮮新統
- R R層 先鮮新統～最下部鮮新統
- 断層
- 推定断層
- 地層境界
- 推定地層境界

V. E. ≒ 6

1' 41'

3' 28'

5' 30'

7' 58'

11' 14'

16' 06'

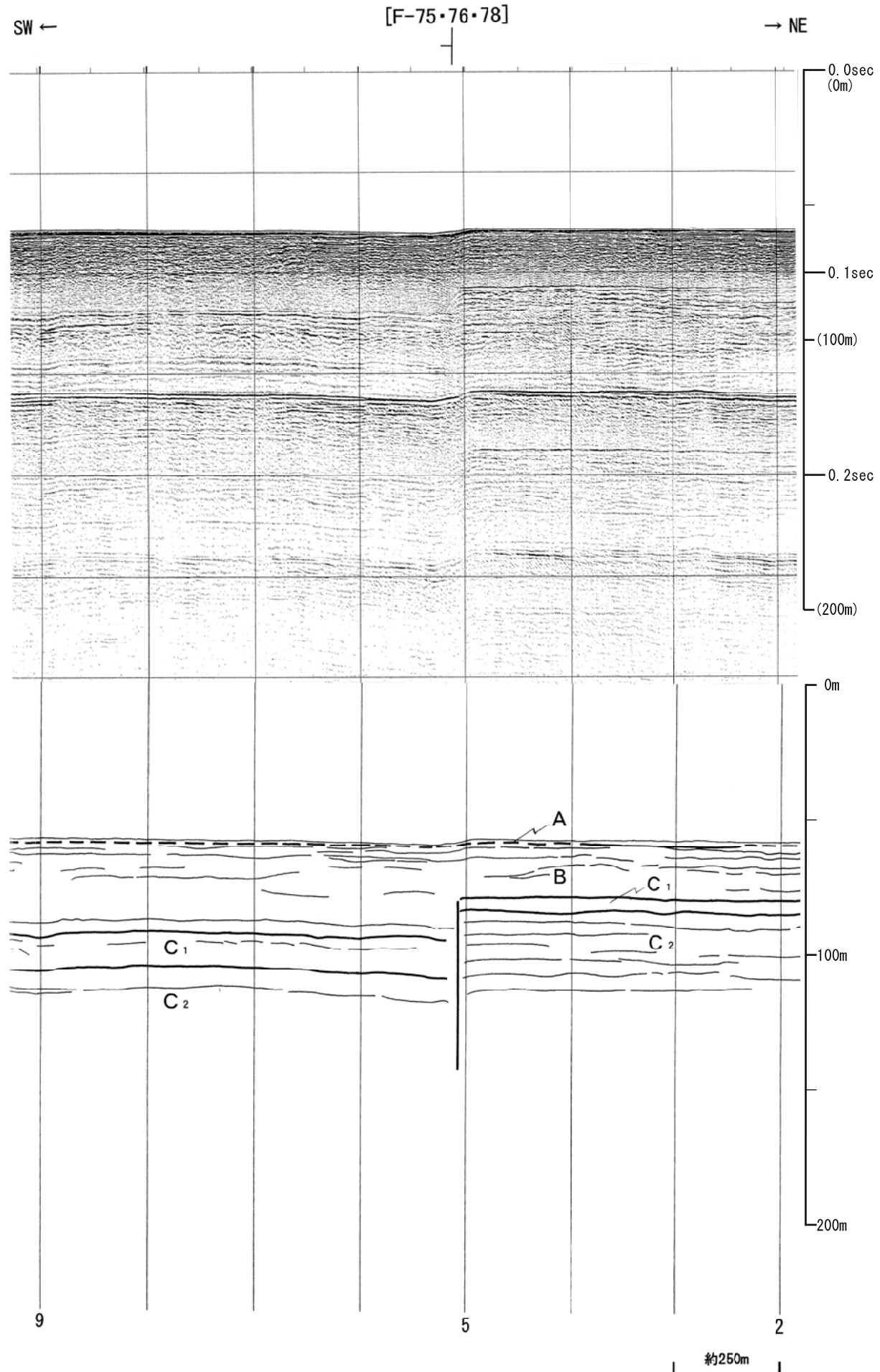
24' 35'

41' 33'

数字(角度)は水平・垂直比が1:1の傾斜角度

深度スケールは音波の伝播速度を1500m/sとして換算した。

第7.4.2.168図(8) 野坂断層, B断層及び大陸棚外縁断層の海上音波探査記録及び地質断面図(NXGM2-4)



関西電力株式会社
 による音波探査記録

凡 例

- [F-21] 断層及び断層番号
- [F-2] 撓曲及び撓曲番号
- 基部 頂部 変形の及んでいる範囲
- [F-2]延長部 断層又は撓曲の延長位置
- 基部の延長位置

凡 例

- A層 完新統
- B層 上部更新統
- C層 最上部鮮新統～中部更新統
 - C₁
 - C₂
 - C₃
 - C₄
- D層 下部～上部鮮新統
- R層 先鮮新統～最下部鮮新統
- 断層
- 推定断層
- 地層境界
- 推定地層境界

V. E. ≒ 6

1' 41'

3' 28'

5' 30'

7' 58'

11' 14'

16' 06'

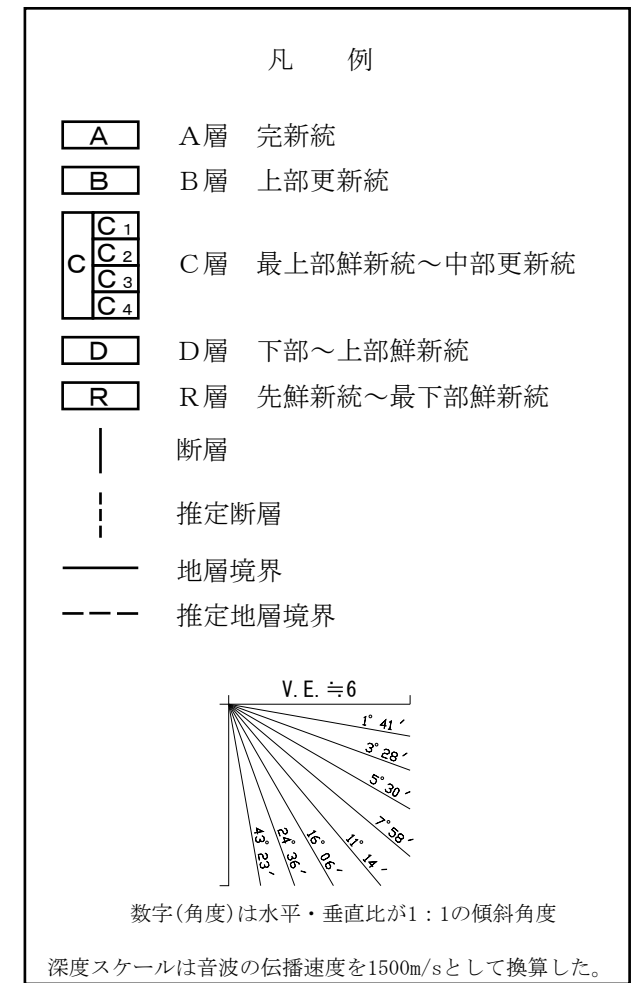
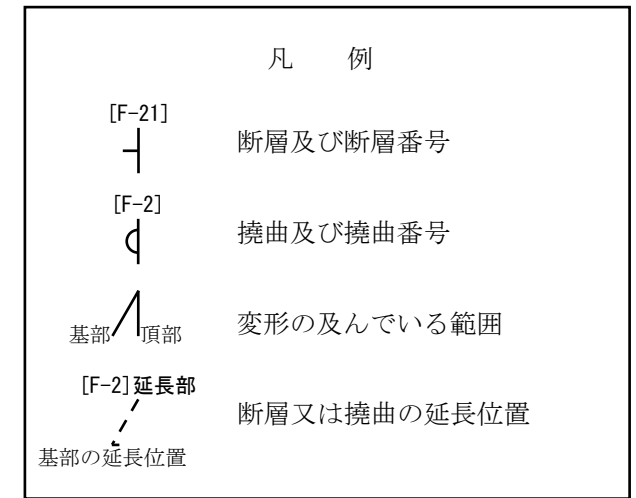
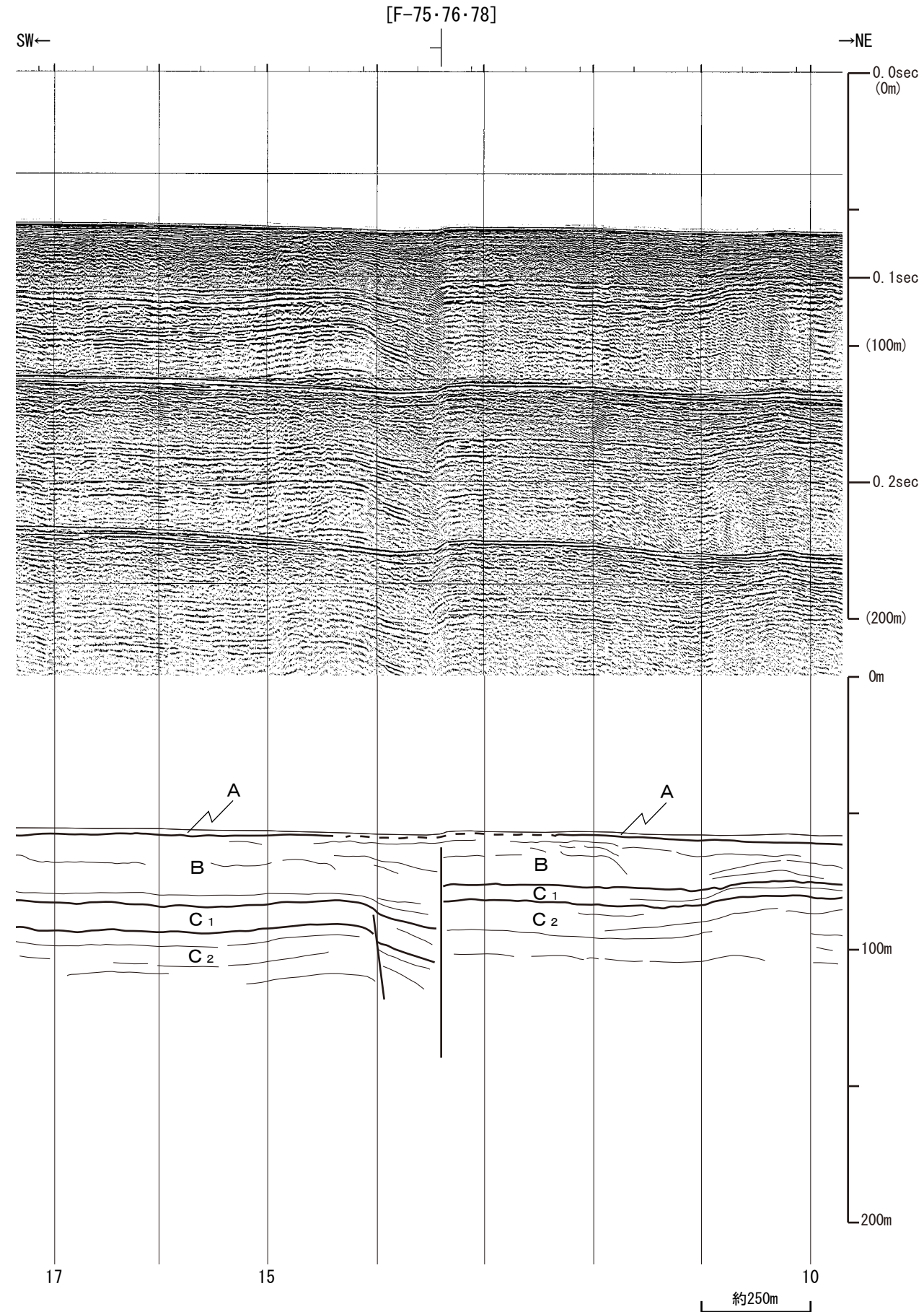
24' 35'

41' 53'

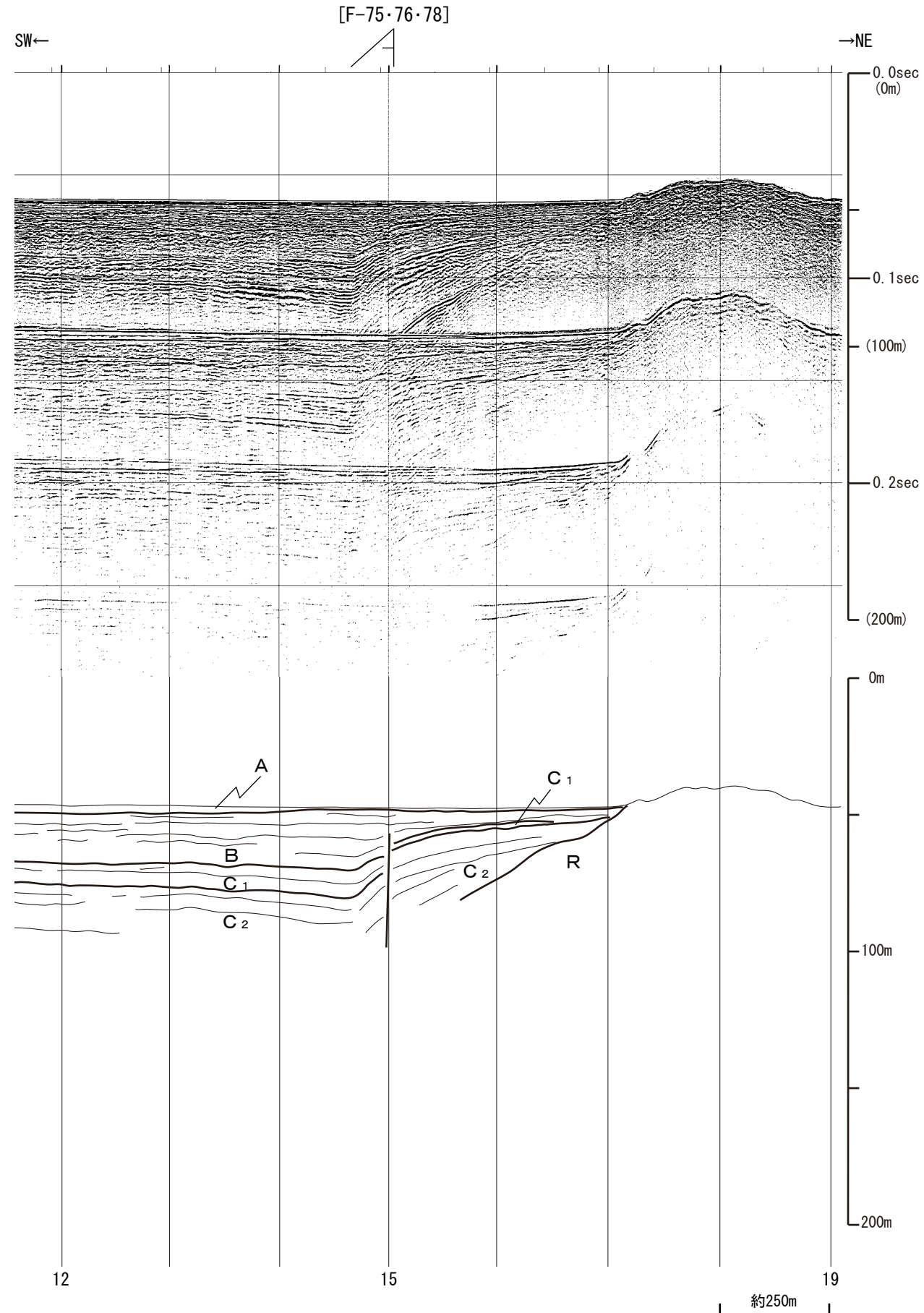
数字(角度)は水平・垂直比が1:1の傾斜角度

深度スケールは音波の伝播速度を1500m/sとして換算した。

第7.4.2.168図(9) 野坂断層, B断層及び大陸棚外縁断層の海上音波探査記録及び地質断面図(N-1G)



第7.4.2.168図(10) 野坂断層, B断層及び大陸棚外縁断層の海上音波探査記録及び地質断面図(NDGM8)



関西電力株式会社
 による音波探査記録

凡 例

- [F-21] 断層及び断層番号
- [F-2] 撓曲及び撓曲番号
- 基部 頂部 変形の及んでいる範囲
- [F-2]延長部 断層又は撓曲の延長位置
- 基部の延長位置

凡 例

- A層 完新統
- B層 上部更新統
- C層 最上部鮮新統～中部更新統
 - C₁
 - C₂
 - C₃
 - C₄
- D層 下部～上部鮮新統
- R層 先鮮新統～最下部鮮新統
- 断層
- 推定断層
- 地層境界
- 推定地層境界

V. E. ≒ 6

1° 41'

3° 29'

5° 30'

7° 59'

11° 14'

15° 06'

21° 36'

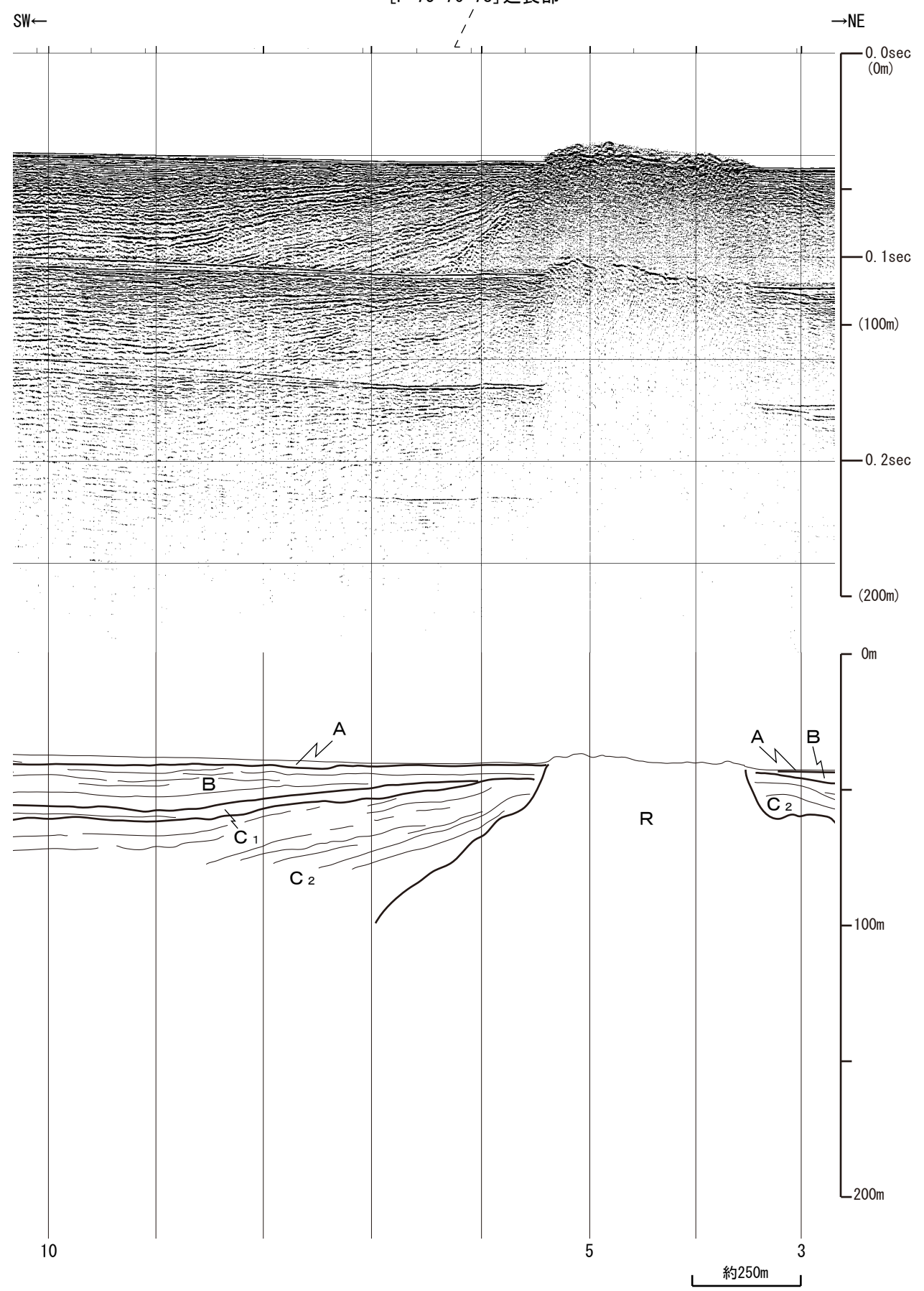
43° 23'

数字(角度)は水平・垂直比が1:1の傾斜角度

深度スケールは音波の伝播速度を1500m/sとして換算した。

第7.4.2.168図(11) 野坂断層, B断層及び大陸棚外縁断層の海上音波探査記録及び地質断面図(N-9G)

[F-75・76・78]延長部



関西電力株式会社
 による音波探査記録

凡 例

- [F-21] 断層及び断層番号
- [F-2] 撓曲及び撓曲番号
- 基部 頂部 変形の及んでいる範囲
- [F-2]延長部 断層又は撓曲の延長位置
- 基部の延長位置

凡 例

- A層 完新統
- B層 上部更新統
- C層 最上部鮮新統～中部更新統
 - C1
 - C2
 - C3
 - C4
- D層 下部～上部鮮新統
- R層 先鮮新統～最下部鮮新統
- 断層
- 推定断層
- 地層境界
- 推定地層境界

V. E. ≒ 6

1° 41'

3° 28'

5° 30'

7° 58'

11° 14'

15° 05'

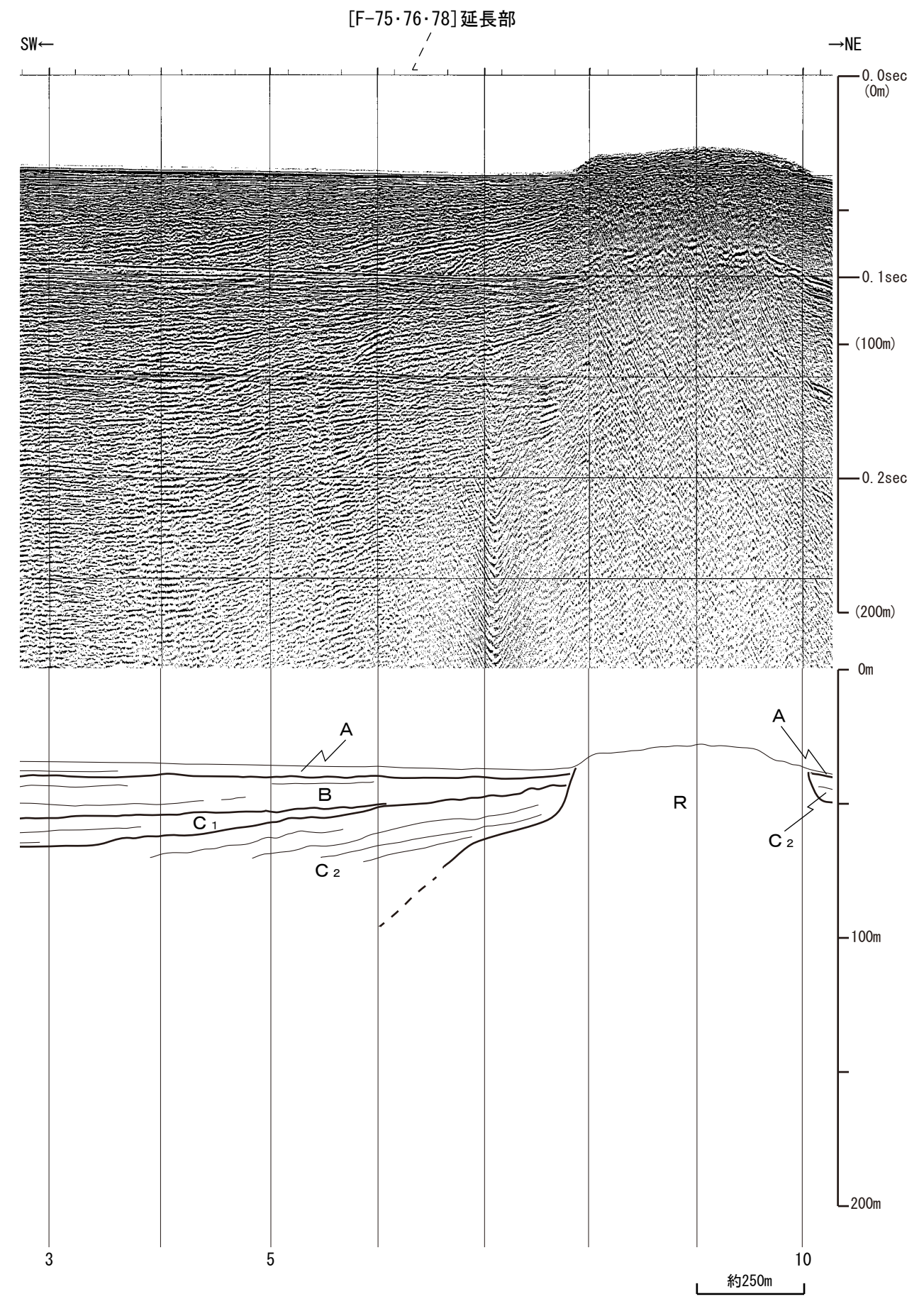
21° 36'

43° 23'

数字(角度)は水平・垂直比が1:1の傾斜角度

深度スケールは音波の伝播速度を1500m/sとして換算した。

第7.4.2.168図(12) 野坂断層, B断層及び大陸棚外縁断層の海上音波探査記録及び地質断面図(N-11G)



凡 例

- [F-21] 断層及び断層番号
- [F-2] 撓曲及び撓曲番号
- 基部 頂部 変形の及んでいる範囲
- [F-2]延長部 断層又は撓曲の延長位置
- 基部の延長位置

凡 例

- A層 完新統
- B層 上部更新統
- C層 最上部鮮新統～中部更新統
 - C₁
 - C₂
 - C₃
 - C₄
- D層 下部～上部鮮新統
- R層 先鮮新統～最下部鮮新統
- 断層
- 推定断層
- 地層境界
- 推定地層境界

V. E. ≒ 6

1° 41'

3° 28'

5° 30'

7° 38'

11° 14'

16° 05'

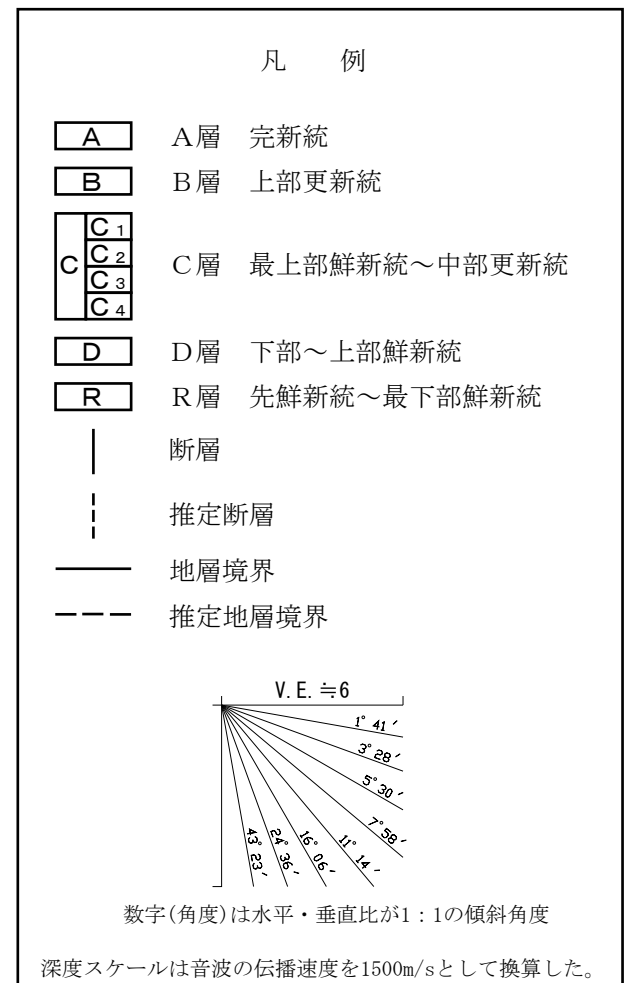
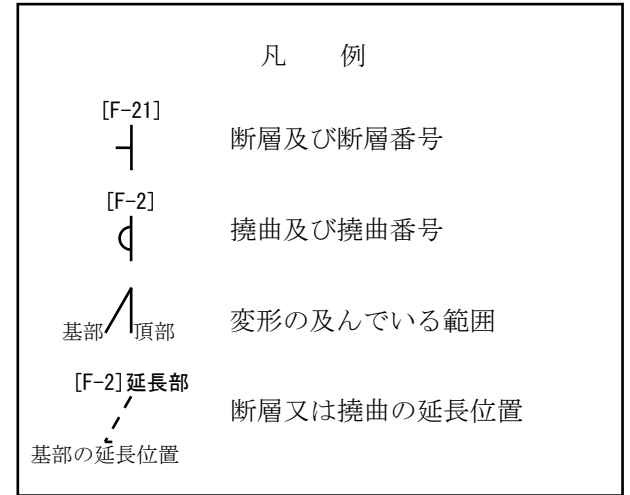
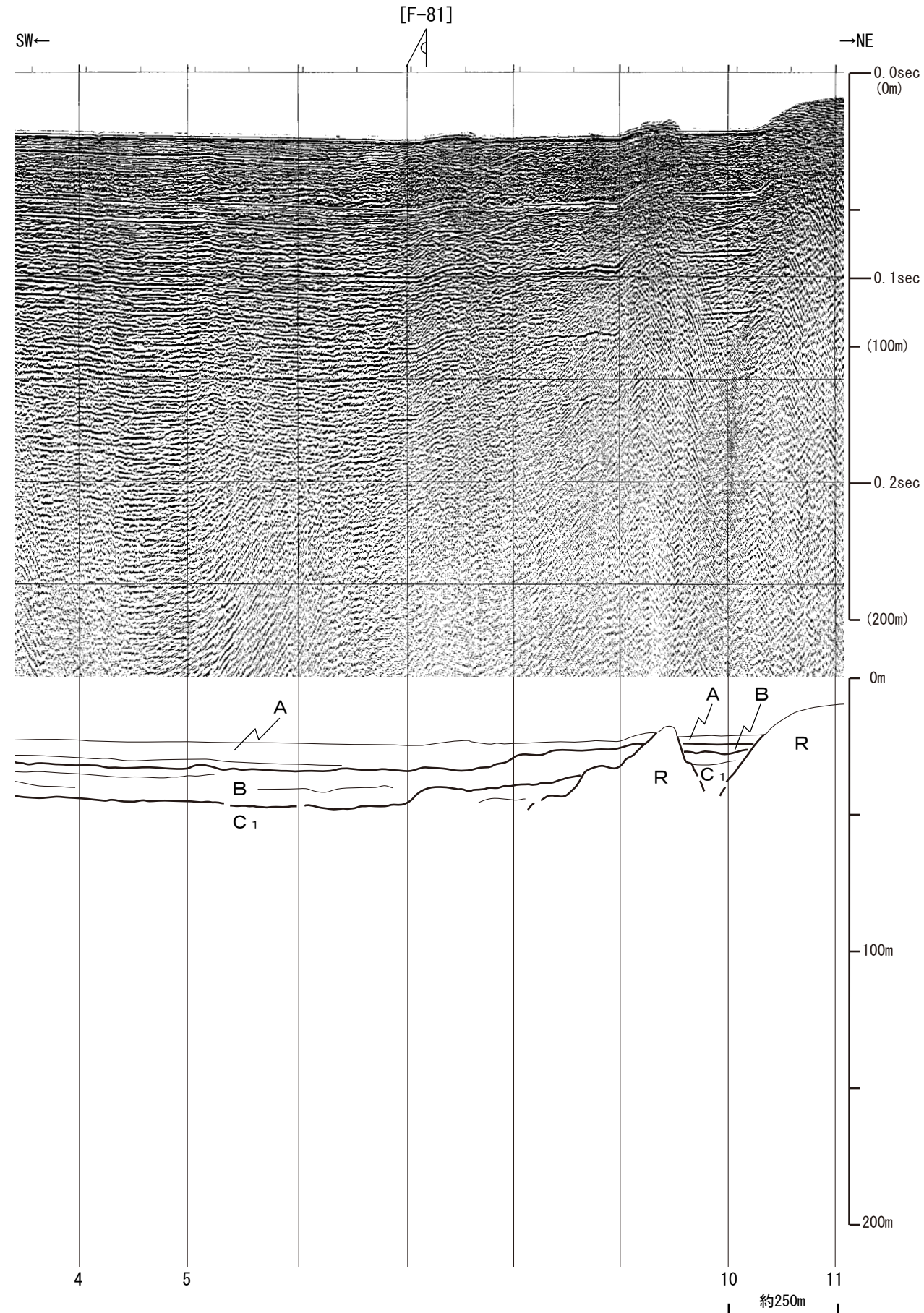
24° 36'

43° 23'

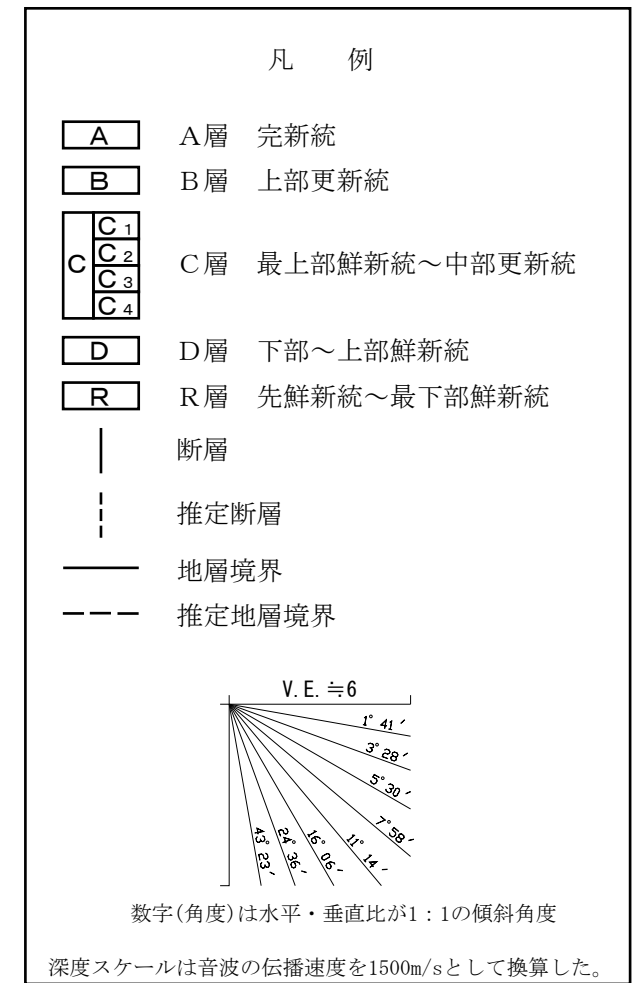
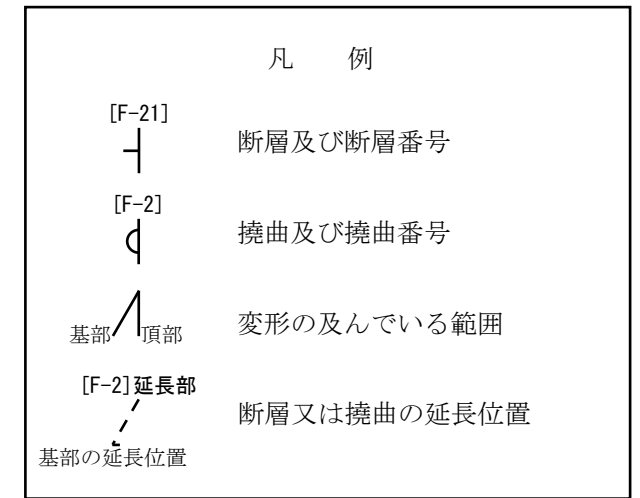
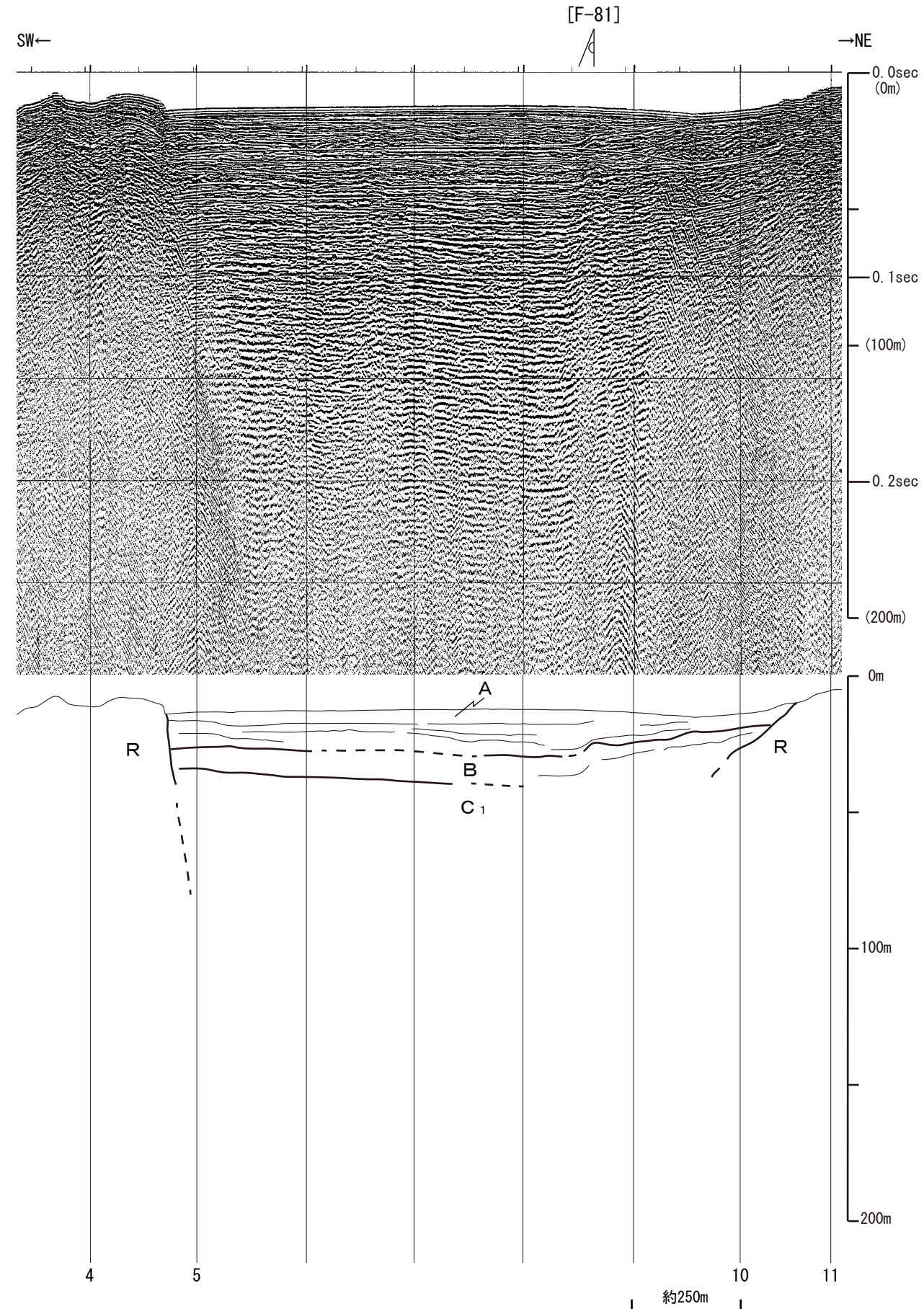
数字(角度)は水平・垂直比が1:1の傾斜角度

深度スケールは音波の伝播速度を1500m/sとして換算した。

第7.4.2.168図(13) 野坂断層, B断層及び大陸棚外縁断層の海上音波探査記録及び地質断面図(NDGM11)



第7.4.2.168図(14) 野坂断層, B断層及び大陸棚外縁断層の海上音波探査記録及び地質断面図(NDGM13)

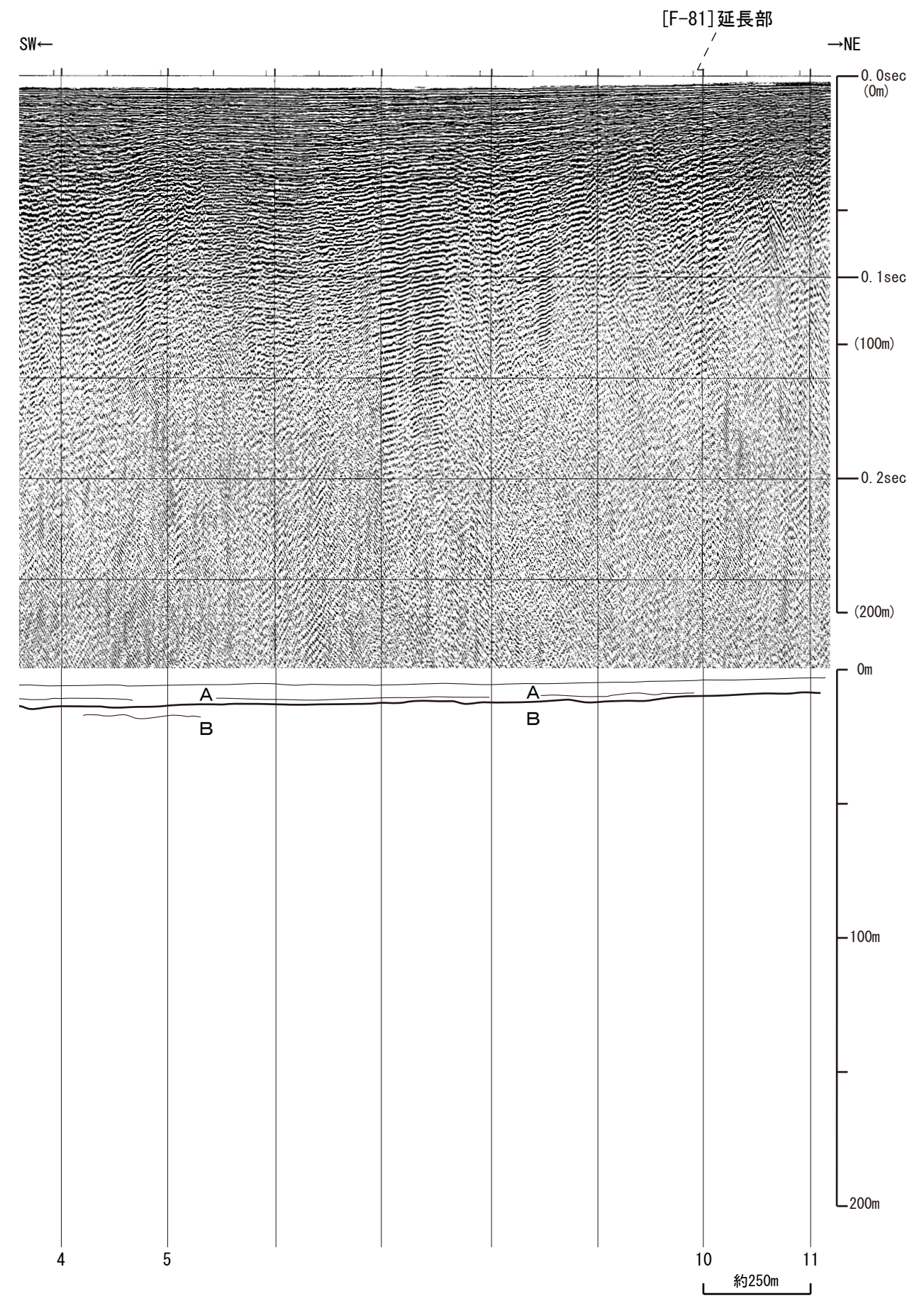


第7.4.2.168図(15) 野坂断層, B断層及び大陸棚外縁断層の海上音波探査記録及び地質断面図(NDGM14)

NDGM16

日本原電2005

ブーマー・ショートマルチ



凡 例

- [F-21] 断層及び断層番号
- [F-2] 撓曲及び撓曲番号
- 基部 頂部 変形の及んでいる範囲
- [F-2]延長部 断層又は撓曲の延長位置
- 基部の延長位置

凡 例

- A層 完新統
- B層 上部更新統
- C層 最上部鮮新統～中部更新統
 - C₁
 - C₂
 - C₃
 - C₄
- D層 下部～上部鮮新統
- R層 先鮮新統～最下部鮮新統
- 断層
- 推定断層
- 地層境界
- 推定地層境界

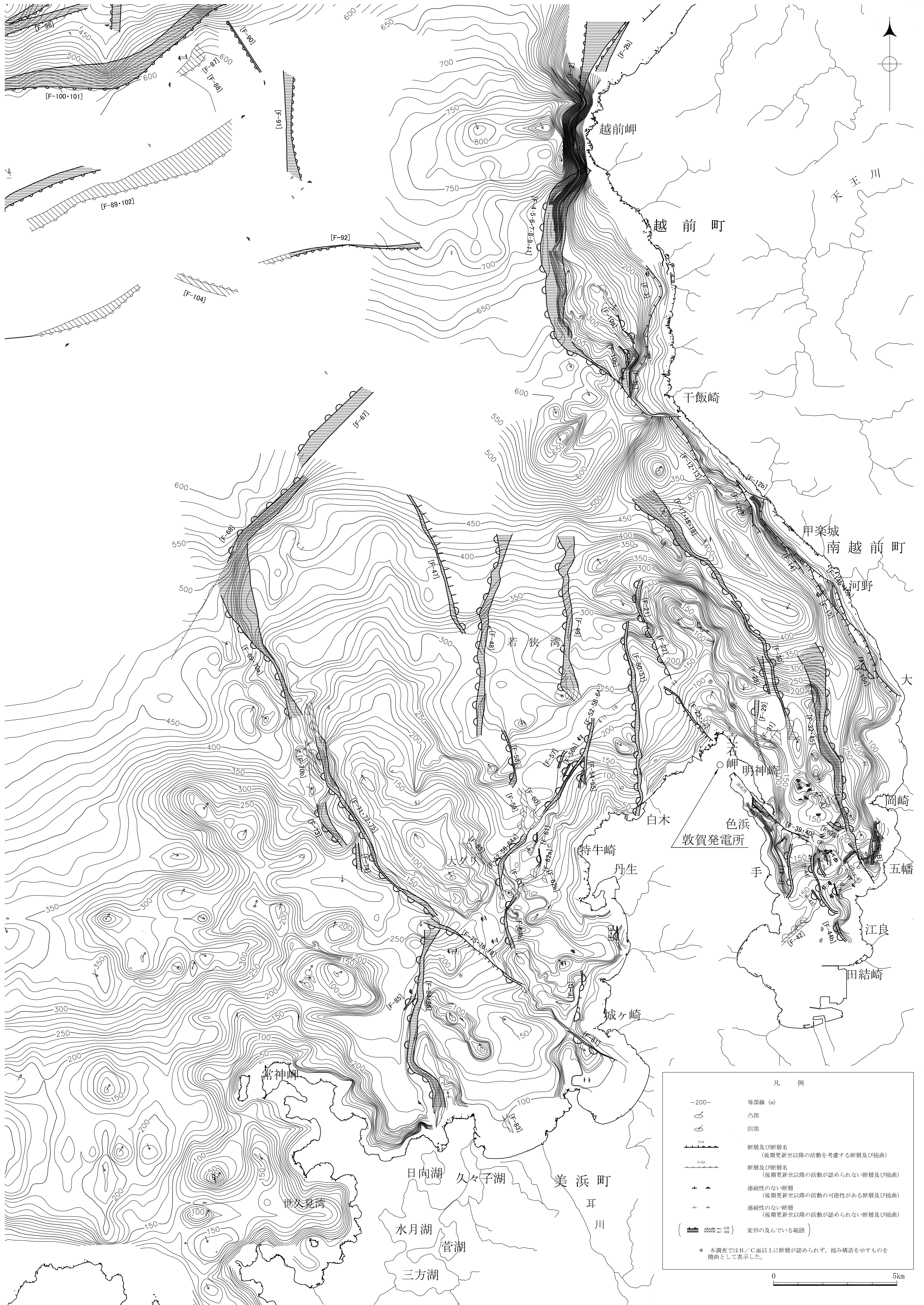
V. E. ≒ 6

傾斜角度: 1° 41', 3° 28', 5° 30', 7° 55', 11° 14', 16° 06', 24° 36', 43° 23'

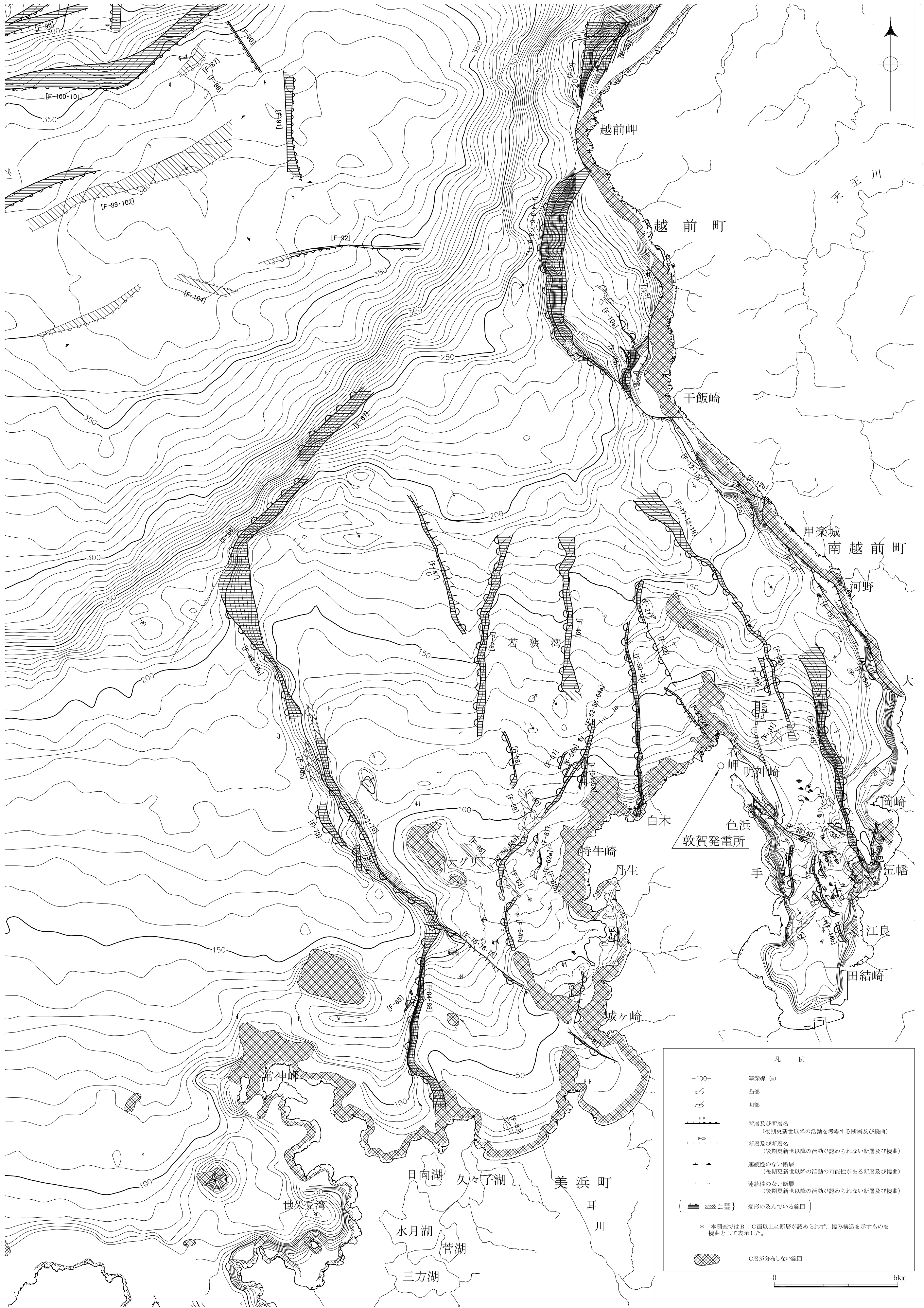
数字(角度)は水平・垂直比が1:1の傾斜角度

深度スケールは音波の伝播速度を1500m/sとして換算した。

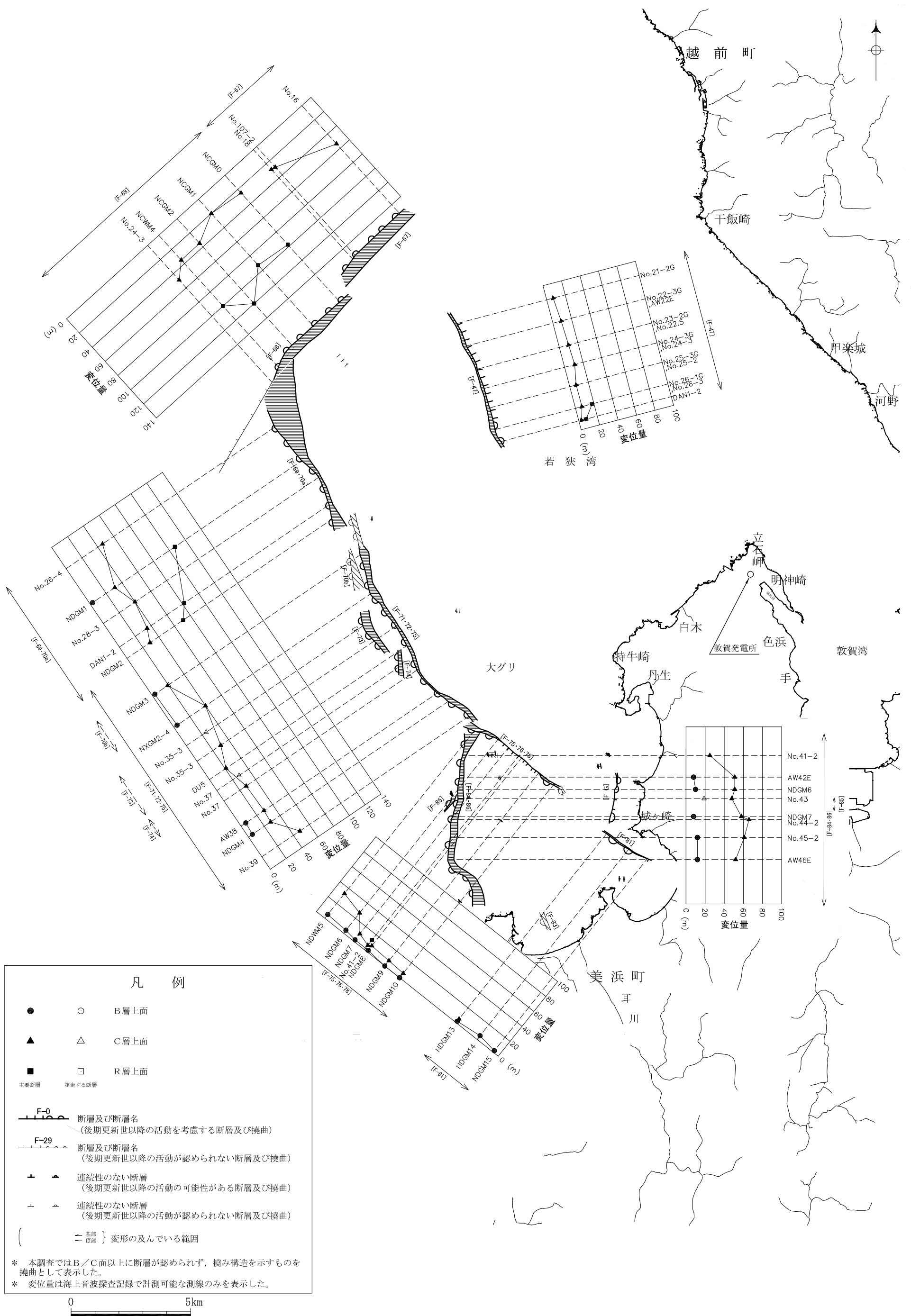
第7.4.2.168図(16) 野坂断層, B断層及び大陸棚外縁断層の海上音波探査記録及び地質断面図(NDGM16)



第7.4.2.169図 B断層，大陸棚外縁断層周辺の等深線図（R層上面）



第7.4.2.170図 B断層, 大陸棚外縁断層周辺の等深線図 (C層上面)



第7.4.2.171図 B断層，大陸棚外縁断層等の変位量分布図



凡例

- 傾斜角
- F-0 断層及び断層名 (後期更新世以降の活動を考慮する断層及び撓曲)
- F-29 断層及び断層名 (後期更新世以降の活動が認められない断層及び撓曲)
- 連続性のない断層 (後期更新世以降の活動の可能性のある断層及び撓曲)
- 連続性のない断層 (後期更新世以降の活動が認められない断層及び撓曲)
- () 変形の及んでいる範囲

* 本調査ではB/C面以上に断層が認められず、撓み構造を示すものを撓曲として表示した。
 * 傾斜角は海上音波探査記録で計測可能な測線のみを表示した。

6-7-4-519

第7.4.2.172図 B断層，大陸棚外縁断層等の傾斜角分布図